

308-0169-98

קוד מחקר:

נושא: השפעת השימוש במים קולחין על מיקרומזהמים בקרקע

חוקר הראשי: ד"ר זאב גרטל

מוסד: מינהל המחקר החקלאי

3

חוקרים שותפים:

1996-1998

תקופת מחקר:

מאמראים:

תלוי

מטרות המחקר: מטרת העבודה העיקרית הייתה לבחון השפעת חומר אורגני מומס אשר נמצא בקולחין על תנועת מזוהמים אורגניים בקרקע. נוכחות ח"א מומס עשוי להגבר את מסיסות המזוהמים ולגרום לתנועה מזווגת שלהם לעבר מי התהום.

יעקורי הניסויים והתוצאות: בשנה האחרונה של העבודה פותח מודל מתמטי המתאר השפעת ח"א מומס על תנועת מזוהמים אורגניים בקרקע. המודל נבחן עם תוצאות מניסויים עמודות שבהם נקבעו הפרמטרים השונים בצורה עצמאית (ללא התאמת מתמטית). נמצא שמקדם הקישור בין המזוהם לבין הח"א מומס קבוע רגניות המערכת לתנועה מזווגת. לחומצה הומית יש כושר קשירה גבוה יותר מאשר לחומצה פולבית. לכן חומצאות פולביות ישפיעו על תנועת מזוהמים באופן פחות מאשר אותו ריכוז של חומצה הומית. מدد מצוין לכושר הקשירה של מזוהמים אורגניים הוא ה-_wA (מקדם חלוקה בין מים ואוקטנול) ככל שהוא יותר אזי החומר יעבור קשירה חזקה יותר ע"י ח"א מומס. המודל הצליח לחזות עקומות פריצה של מספר מזוהים מקרענות קלות בהצלחה רבה.

המסקנות המדעיות: ריכוז הח"א המומס בקולחין תלוי במקוון הטיהור ממנו הוא יוצא. במפעלי טיהור כמו השפדיין שרכיבו הח"א מומס פחות מ-30-40 מ"ג/ל לא צפויות בעיות בתנועה מזווגת של חומרי הדבירה או מזוהמים אחרים כאשר משתמשים בקולחין להשקייה. בשפכים ממפעלים אחרים (כגון: נתניה, עכו וכיו') שבהם ריכזו הח"א המומס בקולחין גבוהה יותר ויכול להגיע ל- 50-100 מ"ג/ל או יותר עלולה להיות בעיה בהשקייה ממושכת כתוצאה מהתרכזות הח"א בקרקע ע"י ריכוז תannisite הקרקע (כתוצאה מאבפטנספריציה). במקרים אלו ריכוז הח"א המומס עשוי להיות פי כמה גבוה ולכך כושר הקישור שלהם עולה בהתאם. נקודת זאת נבדקת היום בניסוי חממות.

תוצאות העבודה הוגשו בכמה כנסים וסדנאות הן בארץ והן בחו"ל. כמו כן הם היו חלק חשוב בעבודת הדוקטור מספר מאמראים כרגע נמצאים כתעת בשלבי הכנה.

תוכנית מס. 98-0169-308

השפעת השימוש במים קולחין על מיקרומזהמים בקרקע

The Effect of Effluents on the Fate of Pollutants in Soil

דו"ח סופי

МОГНЕСТЪ ЛЕДУНЪ ХРАСИ, МШРД ХЧКЛАОТ

עדי

זאב גרטל, אורן מינגלגרין, לאה ליב ויעסאם סבאח
המכון למדעי הקרקע, המים והסביבה
מינהל המחקר החקלאי, בית דגן 50-250

Zev Gerstl, Uri Mingelgrin, Leah Leib and Isam Sabbach
Inst. Soil, Water & Environmental Sciences
Volcani Center, ARO, Bet Dagan 50-250, ISRAEL

zgerstl@ias.volcani.agri.gov

מבוא

שנה השלישית של העבודה נבחן מודל שפותח לתאר השפעת חומר ארגני מומס על תנועת מזוהמים אורגניים. התוצאות מובאות כאן בהרחבת.

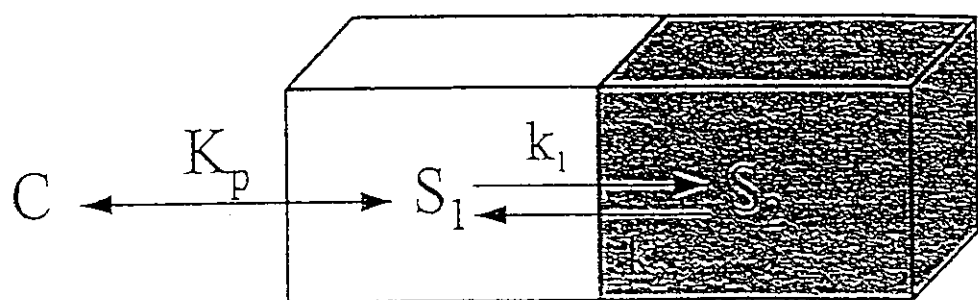
פיתוח והתאמת מודל מתמטי

במודל הדו-רצף (Bicontinuum Model) ספיקת חומרים אורגניים נספחים בשני שלבים: א) שלב מהיר (מידי) - זהו שלב השיווי משקל ומתרחש תוך דקות ו- ב) שלב קינטי איטי יותר המתרחש תוך שעות ויוטר. גישה זו מתוארת בציור 1. מודל זה ידוע בשם מודל שתי הקופסאות (Two-TBM-Box Model).

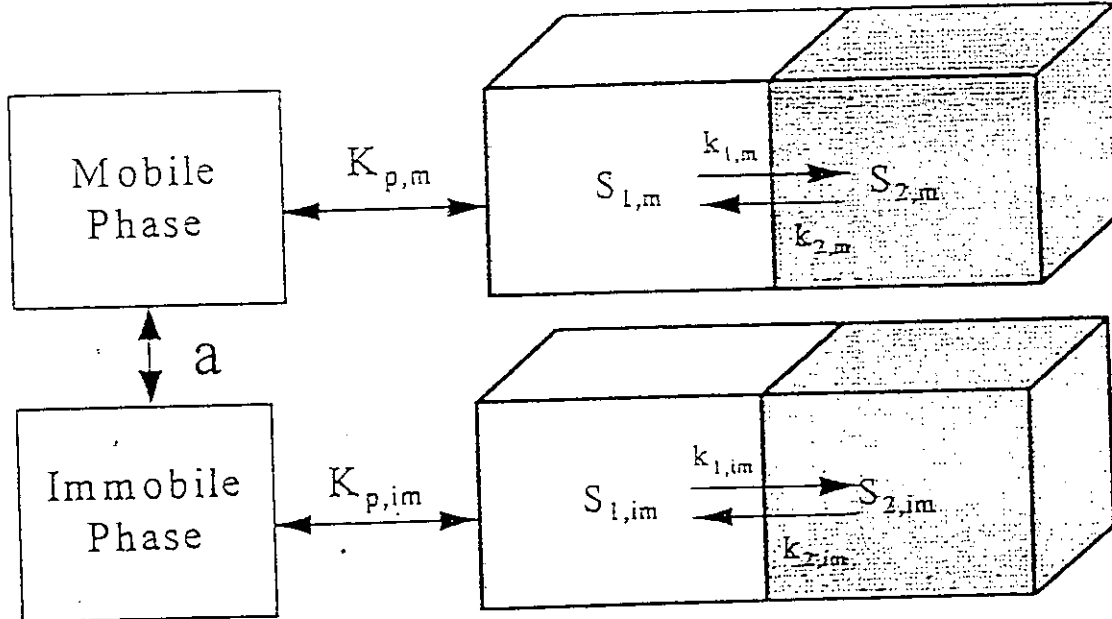
נדיר את הפרמטרים הבאים:

C - ריכוז בפאזה הנוזלית

S - ריכוז נספח בשלב הראשון (שלב שווי-משקל מיידי)



ציור 1 : תיאור סכימי של מודל שתי הkopסאות (TBM)



ציור 2 : מודל רב מרכיב של Brusseau et al. (1989)

- S₂ - ריכוז נספח בשלב השני (שלב איטי קובע קצב)
- k₁ - מקדם קצב הספיחה מסדר ראשון (זמן⁻¹)
- k₂ - מקדם קצב הדסorption מסדר ראשון (זמן⁻¹)
- K_p - מקדם הספיחה הלינארי

ע"י חיבור בין מודל שתי הקופסאות ומשוואת האדויקציה-דיספרטיה (D - A) החד מימדיות, ניתן לכתוב את המודל החסר מימד, כאשר איזותרמת הספיחה מתוארת ע"י מודל לינארי, בצורה הבאה (ראה דוחות שנה א' ו- ב'):

$$\frac{\partial C}{\partial T} + (\beta R - 1) \frac{\partial C}{\partial T} + (1 - \beta) R \frac{\partial S^*}{\partial T} = \frac{1}{P} \frac{\partial^2 C}{\partial X^2} - \frac{\partial C}{\partial X} \quad (1)$$

$$(1 - \beta) R \frac{\partial S^*}{\partial T} = \omega(C - S^*) \quad (2)$$

כאשר:

$$R = 1 + \frac{\rho}{\theta} K_p \quad (3)$$

$$\beta = \frac{1 + \frac{\rho}{\theta} F K_p}{R} \quad (4)$$

$$\omega = k_2(1 - \beta)RL / \nu = k_2(1 - F) \frac{\rho}{\theta} K_p L / \nu \quad (5)$$

$$S^* = \frac{S_2}{K_p(1 - F)C_0} \quad (6)$$

כאשר:

- β - פרקציית העיכוב המידי (fraction of instantaneous retardation)
- ω - Damkohler number מייצג את היחס של זמן השהייה הידרודינמי לעומת זמן ספיחה אופני
- F - הפרקציה של המזום הנספחת מהר (שוו-משקל)

מודל זה יכול לתאר שני מצבים של ספיחה קינטית האחת שבו ספיחה לא מגיעה לשיווי משקל מידית כתוצאה מתהיליך ספיחה איטי (SNE-Sorption NonEquilibrium) והשני שבו הא שיווי משקל נובע מנוכחות מים נייחים והמזום צרייכים לעבור דיפוזיה מהמים הניידים למים הנייחים (TNE-Transport NonEquilibrium). מבחינה מתמטית אין הבדל בתיאור שני המצבים אמן ישנה משמעות שונה למקדמים.

מודל הקינטי רב תהליכי (MPNE-Multiple Processes NonEquilibrium) פותח ע"י Brusseau et al. (1989) עבור המקרה שבו הקינטיקה (אי שווי-משקל) נגרמת ע"י שני הגורמים קובעי כצב, גורם ספיחה-דסורפציה (SNE) וגורם הקשור להסעה (TNE). מודל זה פותח על מנת לתאר מעבר מזוהם במצע נקבובי בו TNE ו-SNE תורמים לאי שווי-משקל. ניתן לראות את התיאור הקונספטואלי של מודל זה בציור 2. מודל שתי הקופסאות שהתקבל עבור גישת הדו-רצף מייצג את מגנוןיו התהליכים קובעי הקצב SNE, TNE ואת הדיפוזיה פנים חומר אורגני.

לפי מודל זה ספיחה מהירה מתרחשת בין האיזור הנידי (mobile) לבין החומר האורגани הנמצא על השטח החיצוני של האגריגטים (שלב 1). המעבר מ 1 ל- 2 יתרחש כתוצאה מדיפוזיה פנים חומר אורגני וייה איטי יותר. המעבר בין האיזור הנידי לבין האיזור הנייח (immobile) יתרחש כתוצאה מעבר מסה דיפיזוני פנים חלקיקי (TNE) והוא שלב איטי. באיזור הניח, המעבר לשלב 3 יהיה איטי למעבר לשלב 1 (ספיחה מידית) והמעבר מ 3 ל- 4 יהיה איטי יותר ולפי אותה עקרון של המעבר מ 1 ל- 2 (דיפוזיה פנים חומר אורגני הנמצא בפירות הפנימיות של האגריגטים).

התאמת מודל TBW לתוצאות נסיונות כפי שדווח בספרות מאפשר שימוש בסיס לפיתוח מודל מתמטי חדש שתתאר הסעת גורל מזוהמים הידרופוביים בנוכחות חומרים אורגניים מומסים. הרעיון של המודל מוטבස על ההנחה מגנון הקינטיקה של שלושת המרכיבים, מזוהם חופשי, מזוהם הקשור עם חומר אורגני מומס וחומר אורגני מומס חופשי, זהה ומוגנה לפי מודל שתי הקופסאות או שניutrqi ספיחה.

חומרים אורגניים מומסים נקשרים למזוהמים אורגניים ע"י אנטראקציות הידרופוביות. הקישור בין המזוהם לבין החומר האורגני המומס גורם לעליה מודמה במסיסותו של המזוהם בפaza המימית, תהליך שזכה בשם "המססה" (הקטנת יכולת הספיחה על הקרקע, ככלומר זה גורם לירידה בערכו של קבוע הספיחה K). המנגנון של הקישור (binding) זהה למנגנון החלוקה (partitioning) של המזוהם בין הפaza המימית לבין הפaza האורגנית בקרקע (Wershaw 1969, 1986, 1987).

חשיבותה של התופעה זו גדרה לאחרונה כתוצאה מכך, שחוקרים רבים טוענים שהסיבה לסתויות שהתקבלו בחזוי תנועת מזוהמים בתת קרקע ובמי תהום נועוצה בכך שלא התחשבו, קודם, בנוכחות חומרים אורגניים מומסים במים. עבודות אחרוניות הראו שנוכחות חומרים אורגניים והיוםיים מומסים גורמת לזרום הסעת ושחרור מזוהמים הידרופוביים בקרקע חולית (Johnson & Amy, 1995;

Johnson et al., 1995; Brusseau, 1993; Magee et al., 1991; Abdul et al., 1990

בහנחה שההשערה, שחומרים אורגניים מומסים גורמים להורדת כושר הספיחה (ירידה של ערכו של K) ועליה בקצב השחרור (עליה בערכו של $\frac{d}{dt}K$) של המזוהם, אזי לדבר זה תהיה משמעותו של מנגנון טכנולוגיות לנקיי אטריים מזוהמים.

mozuןCAN מודל שמרתנו חזוי תנועת מזוהמים הידרופוביים בקרקע בנוכחות חומרים אורגניים מומסים. מודל זה יתאר את משאות המזון של המזוהם, החומר האורגני המומס והמזוהם הקשור במערכת רציפה של קולונת קרקע חולית עניה בחומר אורגני הנמצא בתנאי רוויה.

מחלקת קונספטוואלי

במודל המוצע הפאזה הנזולית מכילה שלושה מרכיבים, מזוהם חופשי (C^f) ומסומן באותיות k_f , מזוהם קשרור (C^b) ומסומן באות B וחומר אורגני מומס DOM. הנחה ראשונית מראה התנהגות זהה של כל שלושת המרכיבים לפי מודל שתי הקופסאות (ראה ציור 3).

בתאור הסכמטי הקבועים מוגדרים בצורה הבא:

K^b, K^f, DOM - קבועי הספיחה (חלוקת) של החומר האורגани החופשי, המזוהם הקשור (k_b) והמזוהם החופשי (k_f) בהתאם.

$S_1^b, S_1^f, S_2^b, S_2^f, DOM$ - כמות החומר האורגני המומס החופשי, המזוהם הקשור והמזוהם החופשי שננספהה בשלב הראשון (מיידי).

S_2^b, S_2^f, S_2^DOM - כמות החומר האורגני המומס החופשי, המזוהם הקשור והמזוהם החופשי שננספהה בשלב השני (שלב קובלע קבוע).

k_1^b, k_1^f, DOM - קבוע קבוע הספיחה בשלב קובלע קבוע ($1 / \text{זמן}$) עבור חומר אורגני מומס, מזוהם הקשור ומזוהם חופשי בהתאם.

k_2^b, k_2^f, DOM - קבוע קבוע השחרור עבור חומר אורגני מומס, מזוהם הקשור ומזוהם חופשי בהתאם.

מעברי המשא המהירים (ספרה מיידית) 1, 3 ו- 5 מתרכשים בין התהום הנידי (בין חלקיקי) לבין שטח החומר האורגני המוצוי בחלק החיצוני של החלקיקים או לבין אתר ספיחה שלא בהכרח מכיל חומר אורגני. שלב זה נקרא שלב שווי-משקל ובד"כ 60% - 40 מכלל המזוהם האורגני נספהה בשלב זה. תהליך ספיחה - דיסורפציה קבוע קבוע מתרכש בשלבים 2, 4 ו- 6 עבור מזוהם אורגני חופשי, מזוהם הקשור וחומר אורגני מומס בהתאם. תהליך זה מתרכש לפי מנגנון דיפוזיה פנים חלקיקית או פנים מטריצת החומר האורגני ו/או פנים אתרי ספיחה שונים מבחינה אנרגטית.

הנחות ותנאי המודל יהיו כדלהלן:

- 1 קיום הנחת REV (נפח בסיסי מייצג)
- 2 גישת הרცף
- 3 קולונה חד מימדית, הומוגנית וסופית
- 4 הזנחה תהליכי הפירוק הביולוגי
- 5 תנאי רוויה
- 6 מנגנון קבוע קבוע לפי מודל שתי קופסאות TBM
- 7 הקישור בין המזוהם האורגני והחומר האורגני המומס יתרחש ביחס 1:1
- 8 קבוע ראקטיבית הקישור מהיר (מיידי) ולכן, מתקיימת הנחת שווי - משקל

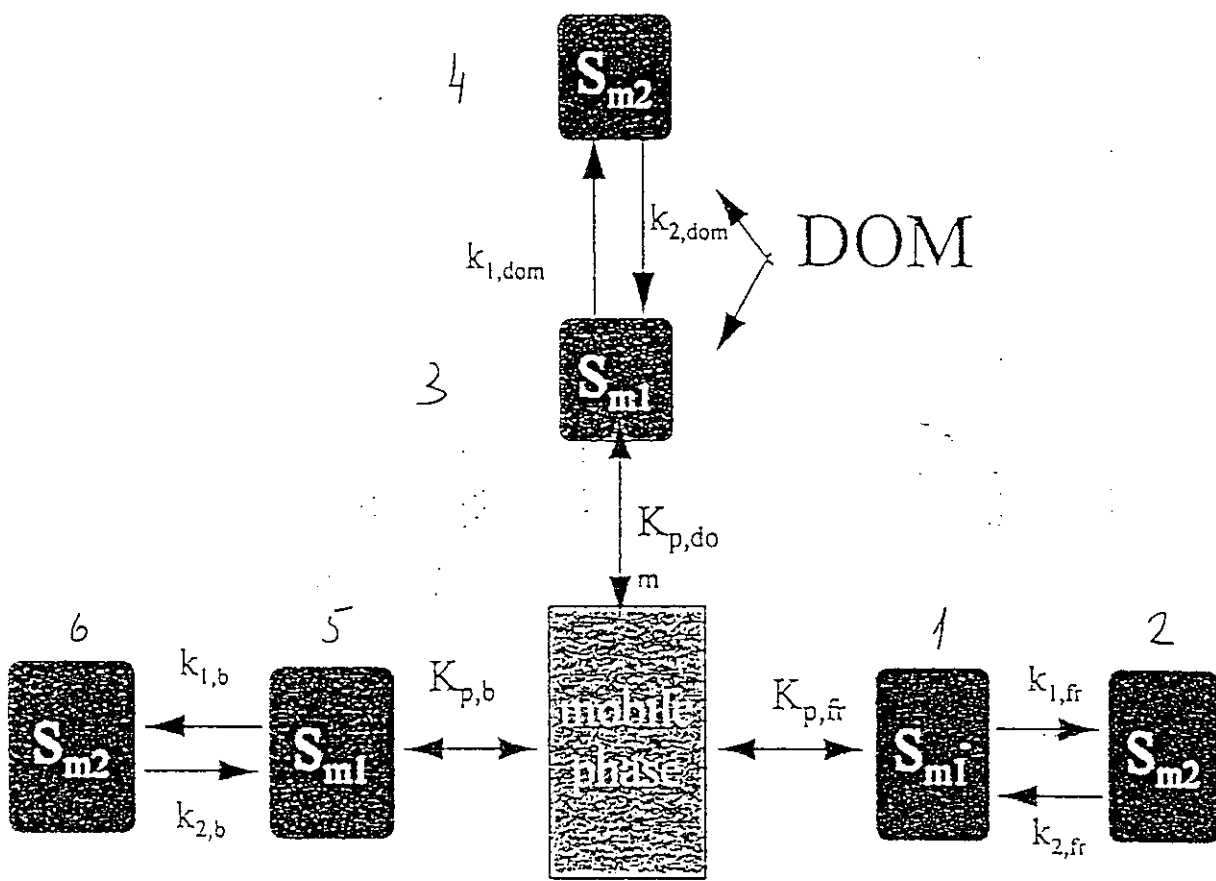
מחלקת מתמטי

בשווי-משקל מתקיים הקשר הבא:

$$(7) [DOM] + C^f \Leftrightarrow C^b$$

ואז קבוע הקישור מוגדר בצורה הבא:

$$(8) K_b = C^b / (C^f [DOM])$$



ציור 3
תאורה סכימטי של המודל המוצע

כאשר C^f, C^b ריכוז המזוהם האורגני החופשי והקשרור בהתאם.

עדי שימוש בקשר: $C^T = C^f + C^b$ מתקבלים הבוטויים הבאים עבור המזוהם הקשור והחופשי:

$$C^f = C^T / (1 + K_b[DOM]) \quad (9)$$

$$C^b = C^T / (1 + (1/K_b)[DOM]) \quad (10)$$

מודל שני אתרי ספיחה או שתי הקופסאות ניתן לתאורה באופן עקרוני בצורה הבאה:

$$C \leftrightarrow S_1 \leftrightarrow S_2 \quad (11)$$

כאשר C הינו ריכוז המזוהם בפאזה הנוזלית, S_1 ריכוז מזוהם נספח בשלב הראשון (משקל/משקל לו) S_2 ריכוז מזוהם נספח בשלב קבוע קבוע.

בנחיה שתהיליך הספיחה מתרחש לפי מודל ספיחה לינארית בשני אתרי ספיחה, איזוثرמת הספיחה הכללית תהיה:

$$S_T = S_1 + S_2 = K_p C \quad (12)$$

כאשר:

$$S_1 = F K_p C \quad (13)$$

$$S_2 = (1-F) K_p C \quad (14)$$

עדי חיבור בין מודל שני אתרי ספיחה לבין משוואת האודוקציה-דיטפרסיה (A-D) החד מימדית, ניתן לכתוב את המודל באותה צורה כפי שתואר עדי Selim et al. (1976). בצורת משווה חסרת מימד שמתארת תנועת מזוהם ספיקת דרך מעקבובי הומוגני חד מימדי בתנאי רוויה וזרימת מים יציבה:

$$\frac{\partial C}{\partial T} + (\beta^* R^* - 1) \frac{\partial C}{\partial T} + (1 - \beta^*) R^* \frac{\partial S^*}{\partial T} = \frac{1}{P} \frac{\partial^2 C}{\partial X^2} - \frac{\partial C}{\partial X} \quad (15)$$

$$(1 - \beta^*) R^* \frac{\partial S^*}{\partial T} = \omega^* (C - S^*) \quad (16)$$

כאשר:

$$R^* = 1 + \frac{\rho}{\theta} F \left(\frac{K_p^f + K_p^b K_b [DOM]}{1 + K_b [DOM]} \right) \quad (17)$$

$$\beta^* = \frac{1 + \frac{\rho}{\theta} F \left(\frac{K_p^f + K_p^b K_b [DOM]}{1 + K_b [DOM]} \right)}{R^*} \quad (18)$$

$$\omega^* = k_2 (1 - \beta^*) R^* L / \nu = k_2 (1 - F) \frac{\rho}{\theta} K_p^* L / \nu \quad (19)$$

$$K_p^* = \left(\frac{K_p^f + K_p^b K_b [DOM]}{1 + K_b [DOM]} \right) \quad (20)$$

$$S^* = \frac{S_2}{\left(\frac{K_p^{fr}}{1 + K_b[DOM]} \right) (1 - F) C_0} \quad (21)$$

כאשר :

K_p^{fr} - מקדמי ספיחה (חלוקת) עם הפאזה המוצקת (קרקע) של המזוהם הקשור והחופשי בהתאם.

K_b - מקדם הקישור בין המזוהם האורגני לבין החומר האורגני המומס.

[DOM] - ריכוז חומר אורגני מומס.

שאר הפרמטרים והמשתנים נשארו כפי שהוגדרו בדוחות הקודמות. בהנחה שמזוהם ארגני קשור מתנהג בצורה דומה לחומר ארגני, ז"א כושר הספיחה שלו מiad חלש יחסית למזוהם החופשי (K_p^{fr}) יתקבלו הבוטויים הבאים עבור הפרמטרים הנ"ל בצורה הבאה :

$$R^* = 1 + \frac{\rho}{\theta} \left(\frac{K_p^{fr}}{1 + K_b[DOM]} \right) \quad (22)$$

$$\beta^* = \frac{1 + \frac{\rho}{\theta} F \left(\frac{K_p^{fr}}{1 + K_b[DOM]} \right)}{R^*} \quad (23)$$

$$K_p^{fr} = \left(\frac{K_p^{fr}}{1 + K_b[DOM]} \right) \quad (24)$$

$$S^* = \frac{S_2}{\left(\frac{K_p^{fr}}{1 + K_b[DOM]} \right) (1 - F) C_0} \quad (25)$$

על מנת שתהייה אפשרה לשימוש במודל הנ"ל בטור מודל חזוי ולא רק מודל התאמת יש לחשב את הפרמטרים השונים בצורה בלתי תלויות ועיי' קשרים וקורלציות אמפיריות שונות.

קוולצייה לחישוב מקדם הקישור K_b

כפי שניתן לראות משתי קבועות המשוואות הניל'ן, בהתחשב עם ספיחת המזוהם האורגני הקשור או בהטעלים ממנה, יש צורך בחישוב או חזו'י מקדם הקישור K_b . לעתים, מקדם הקישור של אותו מרכיב היה שונה בעבודות שונות כפונקציה של מקור החומר האורגני המומס כמו חומצה אורגנית מסווג מסוימים או מקור מסוימים או חומצה פולבית, אם בכלל, כפי שניתן לראות בטבלה 1 נעשה שימוש רב בקורסיות מבוססות על הקשר של האנרגיה החופשית אשר שומשו בהצלחה לחזו'י מקדמי הספיחה והחלוקה של מרכיבים אורגניים שונים.

(26) Rav-Acha & Rebhun (1992) הציעו את הקשר:

$$\log K_b = 1.85 + 0.67 \log K_{ow}$$

לעומת קשר זה (1996) Rebhun et al. קובלו, על סמך ניתוח רחב יותר של התוצאות המסווגות בטבלה מס' 1 את הקשר:

$$\log K_b = 0.71 + 0.8 \log K_{ow} \quad (27)$$

עבור שתי הקורליציות (משוואות 26 ו- 27) הניל', השתמשו החוקרים במקדם החלוקה אוקטנוול-מים (K_{ow}) ממ Lager הננתונים של EPA. בחירת הערך הנכון של K_{ow} דרשה בדיקה מעמיקה יותר. אי לכך, בוצעה סקירה רחבה יותר עבור המקדם K_{ow} . מסקירת הספרות המקצועית נמצא K_{ow} -ים שונים עבור אותו מרכיב כתלות במקור ובדרך החישוב או המדידה.

טבלה 1. ריכוז ערבי מקדמי אוקטנוול-מים ומקדמי הקישור מהספרות.

Compound	Log K _{ow} (ave)	Log K _{ow} (EPA)	Log K _{ow(lit)}	Log K _b	Method
Naphthalene	3.359	3.37	3.37	3.02	Dialysis
Anthracene	4.473	4.45	4.54	4.42	Fluorescence
			4.55	4.93	Fluorescence
			4.45	4.3	Dialysis
			4.45	4.15	Dialysis
Phenanthrene	4.494	4.46	4.34	4.73	Fluorescence
			4.16	4.02	Dialysis
				4.64	Fluorescence
Pyrene	5.06	5.18	5.18	4.37	Fluorescence
			5.18	5.23	Fluorescence
Fluoranthene	5.142	5.33	5.22	5.32	Fluorescence
Benz[α]anthracene	5.738	5.61	5.91	5.67	Dialysis
			5.62	5.17	Dialysis
Benzo[α]pyrene	6.197	5.98	6.5	6.44	Dialysis
			6.06	6.12	Dialysis
Perylene	6.368	6.5	6.5	5.98	Fluorescence
3-methylcholanthracene	6.878	7.11	6.31	5.49	Dialysis

לчисוב או מדידת K_{ow} ישם דרכים ושיטות שונות לשם :

1 - נסיוונית

2 - חישובית לפי מבנה מולקולרי

3 - חישובית לפי שטח פנים מולקולרי כללי

4 - קורילציה עם המיסיסות

ו"א אין דרך אחת ויחידה שמקובלת על כולן לחושב ו/או למדידת הערך של K_{ow} ולכן בוצע ניסיון למצוע רוב הנתונים המדוחים בספרות המקצועית. הנתונים נתחוו סטטיסטית במטריה לקבל ערך מייצג ביותר למקדם אוקטנול-מים.

למטריה זו נלקחו عشرות ערכיהם של K_{ow} עבור 9 מרכיבים מקובוצת מדוחים ב- (Mackay et al. (1992). לערכיהם השונים בוצע ניתוח סטטיסטי רחב כלל, ממוצע, סטיית תקן, חציון, וכל מני מבחנים סטטיסטיים. הערכים שנפלו מחוץ לסתירת התקן נזרקו והניתוח בוצע שנייה על מנת להקטין את ההפרשיות ולקיים סטיית תקן מינימלית.

קורלציה בין K_{ow} לבין K_p

בעבודות קודמות סוכם רוב הקורלציות הקשורות בין K_{ow} לבין K_p או K_{oc} כאשר :

$$(28) \quad K_p = f_{oc} K_{oc}$$

התברר, מסקירה זו, שהקורלציות שונות ותלויות בקבוצת המזוהמים האורגניים. תוצאה זו ברורה בצורה טובה יותר כאשר מבצעים את החשואה בין הקורלציות של Means et al. (1980)

$$(29) \quad \log K_{oc} = -0.37 + \log K_{ow}$$

ושל (Karickhoff et al. (1979)

$$(30) \quad \log K_{oc} = -0.21 + \log K_{ow}$$

שתי הקורלציות התקבלו עבור מזוהמים מקובצת PAH. קורלי צי ראשונה (29) כללה 22 מזוהמים אורגניים רבים טבעות אромטיות והשנייה כללה 10 מרכיבים. לעודדה זו נבחרה הקורלציה של (Means et al. (1980) מהסיבה שהיא מייצגת מספר רב יותר של מזוהמים. על סמך שתי הקורלציות הקשורות מקדם הקישור עם K_{ow} והמשווהה של חישוב מקדם הספיפה או חלוקה מה K_{ow} הנתונים הפסיכיליים של המצע הפיזובי ונתוני הזרימה, ניתן לחשב את כל הפרמטרים של שווי משקל הדורשים לחזוי עקומת הפריצה של מזוהם ארגני כל שהוא בקרקע. על מנת לחשב את הפרמטר הקינטי (ω) יש צורך בהערכת מקדם הקצב מסדר ראשון (k_1). על כן, יש צורך בקורסיה נוספת המקשרת בין מקדם הספיפה (חלוקת) לבין המקדם הקינטי.

קורסיה בין K_p לבין k_1

גם קשר זה אינו חדש, חוקרים רבים כבר התייחסו אליו (Brusseau et al., 1989, 1990). קשר הופיע בין k_1 לבין מקדם הספיפה הוצע, גם ע"י Nkedi-Kizza et al. (1989). Brusseau & Rao (1989). התאימו גישת הקשר של אנרגיה חופשית לינארית (LFER) לניתוח מספר רב של מזוהמים אורגניים הידרופוביים עם סוגים סופחים שונים. מהניתוח שלחמו התקבל הקשר הלינארי ההיפוך של log-log בין k_1 לבין K_p . קשר זה נחשב לכלי חשוב להערכת מקדמי הקינטיקה לפחות עבור סופחים זהים

לאלו שנחקרו ע"י Brusseau & Rao (1989). האחרוניים חזות, ובהצלחה, עוקמות פריצה של מזוהמים אורגניים והידרופוביים ע"י שימוש בקורלציה זו. כמו כן, בפרק הבא ניתן לראות שימוש רחב בקורלציה זו ובקרליות האחרות במטרה לביצוע חיזוי בלתי תלוי של מזוהמים הידרופוביים אחדים בקרקעות חוליות.

הקשר שהוצע ע"י Brusseau & Rao עבור המדגם הגדול של המזוהמים היה:

$$\log k_2 = 0.301 - 0.668 \log K_{ow} \quad (31)$$

$$\log k_2 = 0.96 - 0.84 \log K_{ow} \quad (32)$$

עבור מזוהמים מקבוצת PAH.

קשר זה ניתן לקבל מתוצאות נסויי מזוהמים אורגניים עם ממיסי עוז (מתנול). ממיס העוז גורם להגדלת מסיסות המזוהם בפזה הנזולית, אי לכך, הספיקת קטנה ומוקדם הקינטי של הדסorption גדל. לכל אחד משלושת המזוהמים נבחנה עוקמת הפריצה והאלוציאיה עם 4 ריכוזים שונים של ממיס עוז (מתנול) והتوزאות נותחו לפי מודל אי שווי-משקל לפי שני אתרי ספיקת בעזרת מודל CFITIM (Van Genuchten, 1981) בלבד עם תוצאות שחולצו מעוקמות הפריצה שלphenanthrene וtoluene סטטיסטיבית וחולץ מהניתוחן קשר לינארי הפוך בין k_2 לבין K_{ow} בצורה הבאה:

$$\log k_2 = 0.51 - 0.7 \log K_{ow} \quad R^2 = 0.94 \quad (33)$$

בציר הба (4) מתואר הקשר הנ"ל עבור התוצאות הניסיוניות (נקודות מלאות) של עבודה זו אשר בוצעו בשתי המערכות הנחקרות (קרקע חמרה וחול מטופף). לעומת זאת, על אותה התאמת לינארית מתוארים הערכים מהסתירות המקצועית עבור קבוצת כלורובנזינים וקבוצת חומרים רבים טבעות אромטיות (Brusseau & Rao, 1989).

תוצאות ניסיוניות התקבלו מנסויי השפעת ממיסי עוז על קבוע ספיקת וסחרור ומנסויים רציפים אחרים במערכות קרקע טבעית ונסויים במערכות חול מטופף עבור המזוהמים פננטן אנטרטן ופלורנטן בnochות ובהדרן חומרים אורגניים מומסים.

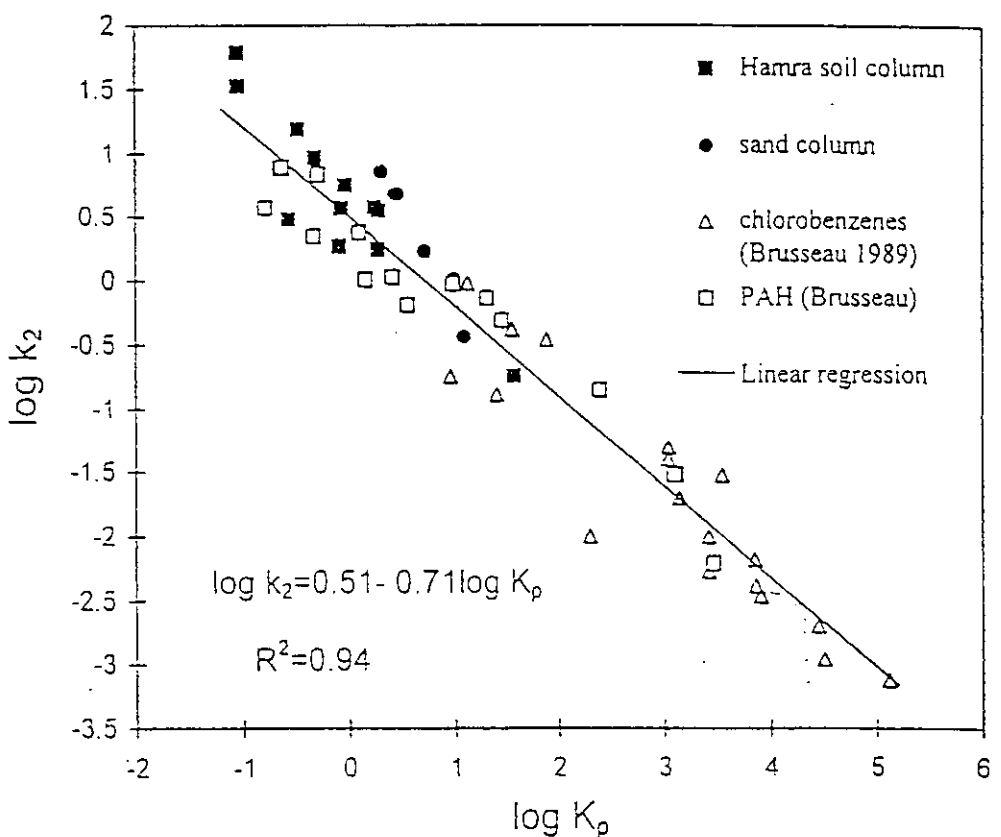
(Brusseau & Rao, 1989) סכמו הרבה התוצאות ניסיוניות שהלכו ה证实 במערכות, דרכים וקורליאות שונות אשר צוטטו מהסתירות מקצועית וחלקים האחורי בוצע ע"י החוקרים עצם. מציר זה ניתן לראות בצורה ברורה ביותר את נכונות הקשר המוצע ע"י ההתאמה הטובה בין ספקטורים הערכיים הרבה שיש למערכות, מזוהמים ודרך ביצוע שונים. למורות השונה הרבה במנוגון הרחב של הנסויים הרבים, התקבלה קורלציה טובה $R^2 = 0.94$.

גם, לגבי התוצאות הניסיוניות של עבודה nochית וגם, לגבי, הנסיבות מהסתירות המקצועית, ספקטורים המזוהמים, השיטות, והמערכות הניסיוניות רחב ומשונה. למורות שונה זה, הנסיבות מתאימים לקורלציה בצורה טובה, דבר זה מוכיח את נכונות התלות המוצעת.

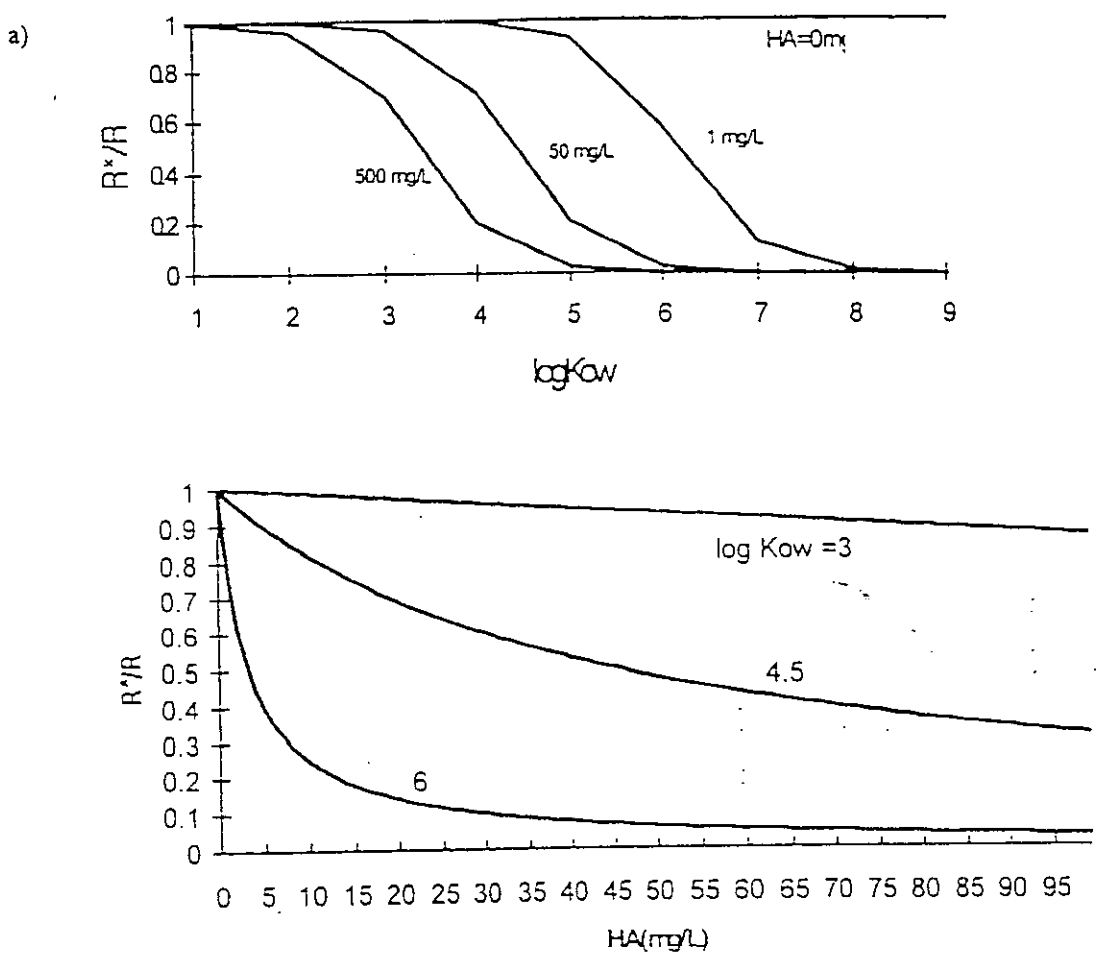
השפעת הקישור על העיכוב:

השפעת הקישור בין חומר אורגני מומס לבין מזוהם אורגני הידרופובי על העיכוב שלו בקרקע כפי שוחשב ממודל מתואר בצייר 5 בצורה של R^*/R כנגד $\log K_{ow}$ ורכיב חומר אורגני מומס בתחום 0-500 מג"ל מסומן כ-DOM. R^* חושב לפי משווהה 22.

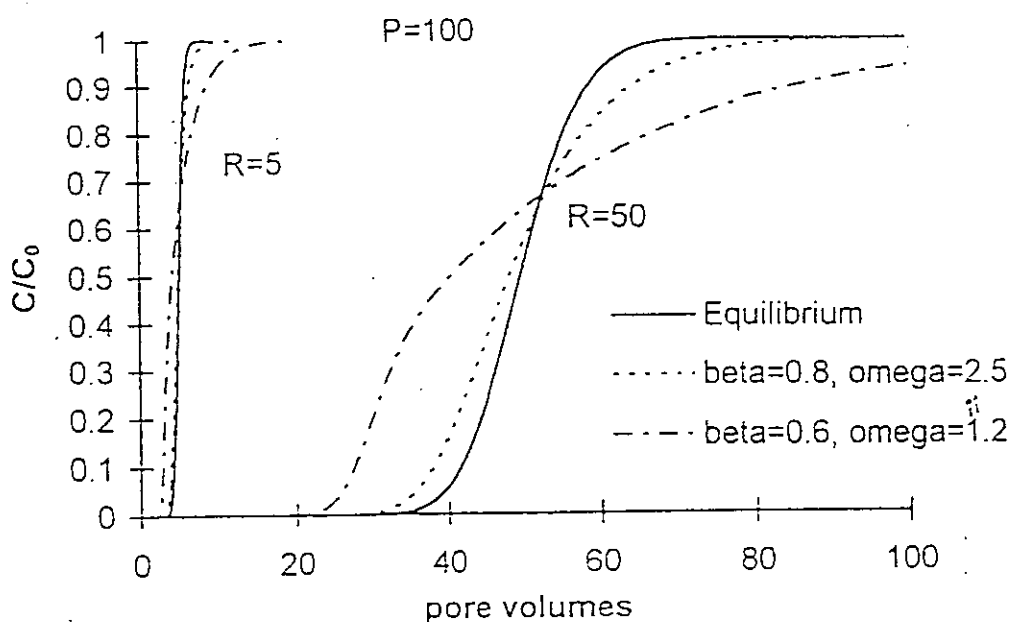
צייר זה מראה שהשפעת ח"א מומס על העיכוב זינחה בתחום של $4 < \log K_{ow}$. במטרה להוריך את העיכוב היחסיבי ב-40-50% בתחום 3 $\log K_{ow} =$ דריש חומר אורגני מומס ברכיב גבואה מאוד (מעל



ציור 4: תלות בין המקדם הספיפה הקיינטי, k_2 , לבין מקדם השווי משקל של הספיפה, K_p .



ציור 5 : הקטנת העיכוב של מזחים אורגניים על קישור עם הא"ם (a) השפעת ריבת חה"ם (b) השפעת הידרופוביות המזחים



ציור 6 : השפעת קצב התהליכיים על תופעת הזינוק והMRIה של עקומות הפריצה

500 מג"ל). ריכוז זה קשה להשגה בגל תחום המסילות המוגבל של חומר ארגני מומס בתנאי K_{w} נורמליים (8-6). לעומת זאת, הורדה ניכרת השגה עבור מזוהם הידרופובי חזק ($5 \geq K_{\text{ow}} \log$). הורדה של פי 10-30 בערכו של מקדם העיכוב התקבלה עבור מזוהמים הידרופוביים חזקים ועדי שימוש ברכיבו נמוך יחסית של חומר ארגני מומס (10-30 מג"ל). מזהמים $5 \leq K_{\text{w}}$ ניתן לראות שהורדה משמעותית באחיזה הספיחה והעיכוב מתקבלת עבור מזוהמים ארגניים הידרופוביים בעלי $4 > K_{\text{ow}}$ והורדה חזקה יותר מתקבלת עבור $5 > K_{\text{ow}}$. כושר הספיחה והעיכוב של מזוהמים בעלי הידרופוביות חלה מושפעים מעט מאד מאפקט הקישור שלהם עם חומר ארגני מומס בתחום הריכוזים שנחקרו. למעשה, יש לזכור שמזוהמים מהקטגוריה זו שכמעט לא מושפעים מה קישור עם חומרים ארגניים מומסים, הם בעצמם נספחים חלש ולא מהווים בעיה של עיכוב משמעותי בקרקע ובמי תהום. ז"א, צריך מעט נפח פוריות של מים בלבד לנקי מושפעים של קרקע ספוכה במזוהם הידרופובי חלש. לעומת זאת, מזוהמים הידרופוביים חזקים מתעכבים יותר בקרקע ודרושים אף נפח פוריות לשטיפם ע"י מים בלבד. לדוגמה מזוהם בעל $6 = K_{\text{ow}}$ מתעכב פי 3 סדרי גודל יותר ממזוהם בעל $2 = K_{\text{ow}}$ ולכן זה לא מפתיע בכלל שה קישור משפייע חזק על העיכוב של מזוהמים בעלי הידרופוביות חזקה. לדבר זה השלכה חשובה מאוד על נושא נקי אותרים מזוהמים. ז"א למזוהמים בעלי הידרופוביות חלה דריש מספר קטן של נפח פוריות של מים כדי לשחרר מהתפקיד, לעומת זאת ואבילו אף נפח פוריות הדרושות לשחרור ונקי אותרים מזוהמים במזוהמים הידרופוביים חזקים. למזוהם אלו יש צורך בהקטנת העיכוב שלהם בקרקע ולהגדלת הדסורפציה והשחרור שלהם, דבר המתבטא בהקטנת נפח המים הדרוש לנקי אותר מזוהם וזה כתוצאה מסוימת הקישור של המזוהמים עם חומר ארגני מומס.

חזי עוקומי הפריצה

חזי של עוקמת פריצה של מזוהם במצע נקבובי על סמך נתוני היסוד (חזי בلتתי תלוי) דוחש חישוב של הפרמטרים הבאים: β , φ , ו- R ניתן לחשב את מקדם העיכוב R . מקדם הקישור הושב ע"י משווה 27 ומקדם הספיחה ע"י משווה 29 בהנחה ש $F=0.6$ (שבר הספיחה המיידית) ניתן לחשב את β לפי משווה 23. לחישוב φ דרושה הקורלציה 31 או 32 המקשרת בין מקדם השווי משקל (חלוקת) לבין קבוע הקצב של השחרור מסדר ראשון. בעזרת קבוע הקצב המחשב לפי משווה 22 ניתן לחשב φ לפי משווה 19.

כדי להראות חשיבות הפרמטרים הניל ובמיוחד הפרמטר הקינטי (נככל ב φ), ציוויל עוקומי פריצה השערתיים עבור שני מזוהמים בעלי כושר ספיחה שונה על מסוף כלשהו. בצייר 6 ניתן לראות שתי סדרות של עוקומי פריצה, אחת עם מקדם עיכוב 5 (מזוהם הידרופובי חלש) והשני עם מקדם עיכוב של 50 (הידרופובי חזק יותר). העוקמות צוירות בהנחה שמקדם פצלת שווה 100 (דיספרסיה זינחה) והתיחסו למצב של שווי-משקל (עקוונה חדה), מצב שליטות קצב קלה ומצב של שליטה קצב חזקה יותר (טופעת זינוב ומריחה). ההבדל בין המצב הראשון לאחרון גזול יותר ככל שהמזוהם נספח חזק יותר כפי שניתן לראות בציור זה ובבחינה ישומית הבDEL זה גורם להפרש גדול של כמות המים הדרושה עד הפריצה (גם הדרושה לשטיפה) בין אם התהALK מתרחש בתנאי שווי-משקל לבין אם הוא נשלט ע"י מנגנון קצב דיפיזוני למשל. ז"א ככל שתהליכי ספיחה - דסורפציה נשalthים ע"י קצב התהליכים אזי תופעת זינוב ומריחה התקבל ותגרום להפרש גדול

יותר בכמות המים או בזמן עד הפריצה והזמן וכמות המים הדרוש לשטיפת קרקע ממוחם ארגני הידרופובי.

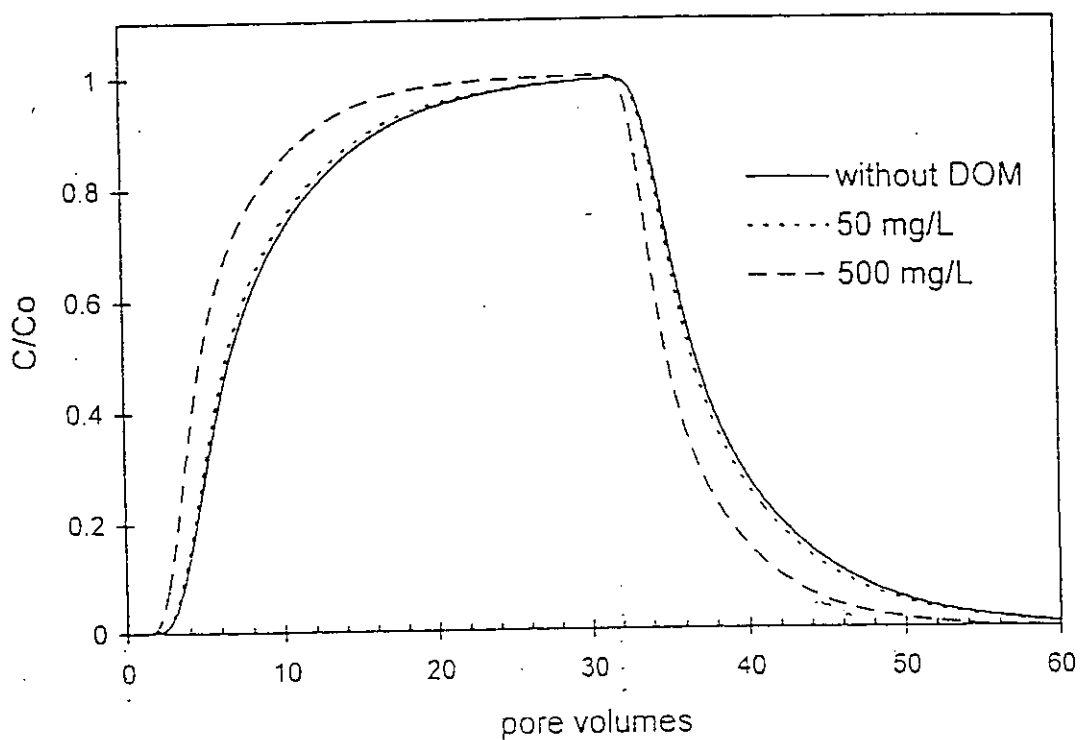
חווי עקומי מומסifs פריצה בנוכחות חומרים ארגניים טבעיים

ה חשובים בוצעו עבור מודל של קולונת קרקע חולית עם אחוז חומר ארגני של 0.4%, צפיפות של 1.6 גרם/סמי"ק ושביר חללים של 0.4. החשובים בוצעו עבור מזומנים בעלי $K_{ow} = 3,4,5,6$ log K_{ow} עם ריכוזי חומר ארגני ממושך הנעים בין 500-0 מג"ל. חישוב קבוע הספיקת נעשה בהנחה שתכולת חומר ארגני היא התורם העיקרי לسفיחה.

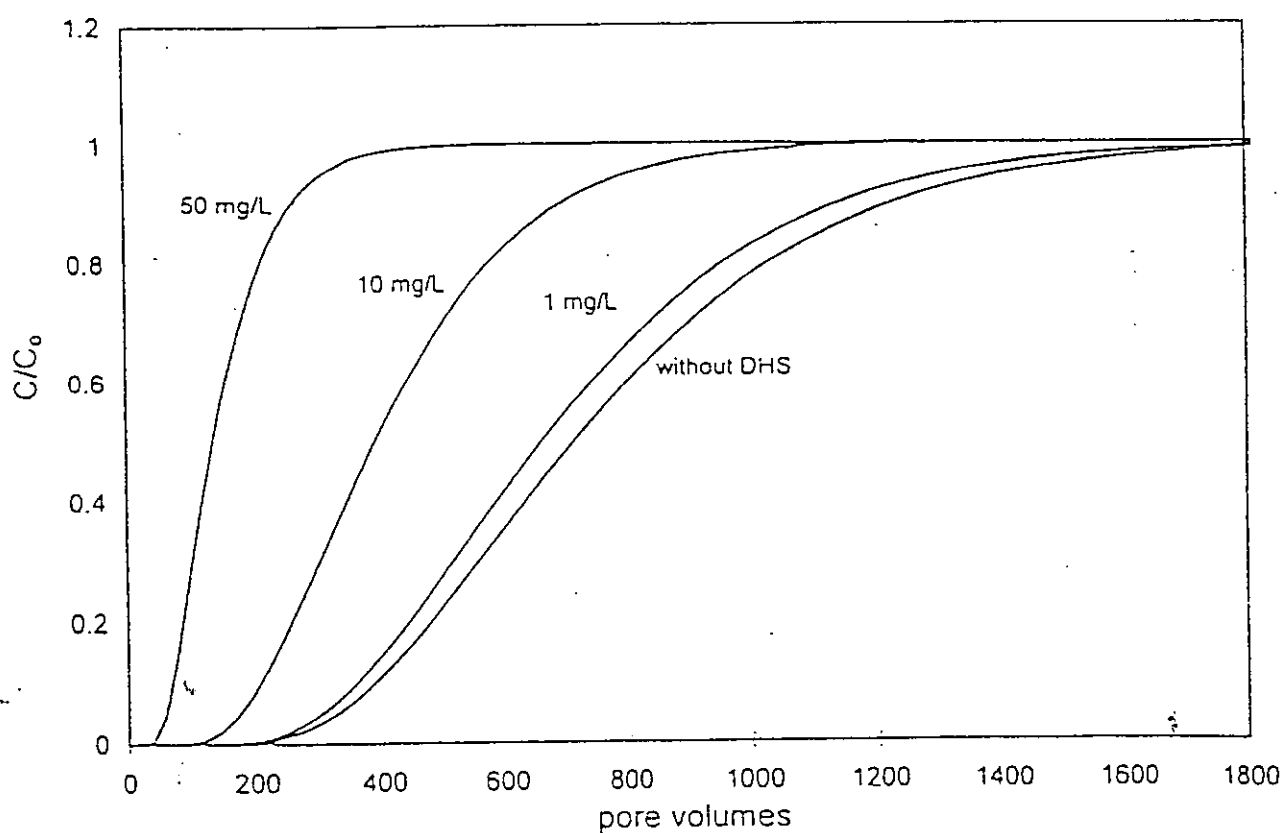
ציפור 7 מתאר את עקומי הפריצה ואלוציה של מזוםן בעל $3 = K_{ow}$ בנוכחות חומר ארגני טبعי ממושך ברכזו 50,0 ו- 500 מג"ל. כפי שניתן לראות מציור זה, דרוש חומר ארגני ממושך ברכזו גבואה יחסית על מנת לראות השפעה משמעותית של חומר ארגני ממושך על זירוז תנועה למזהם זה, הדבר זהה, גם, עבור האילוציה (שטיפה) של המזוםן מהקרקע. ציפור זה מראה בדומה ברווח ממד שמזוםן הידרופובי חלש ($= K_{ow} \log 3$) לא מושפע ממעט הקישור אפילו אם ריכוז החומר הארגני ממושך הוא גבוה (500 מג"ל).

בציפור 8 ניתן לראות את השפעה החזקה של חומר ארגני ממושך על זירוז עקומי הפריצה של מזוםן בעל $5 = K_{ow}$ ברכזים שונים של חומר ארגני ממושך. כפי שנזכר קודם, ככל שהמזהם הידרופובי יותר אפקט הקישור חזק יותר. בציפור 8 ניתן לראות, שמקדמת העיכוב של המזהם בלבד היה בסביבות 800 נפח פורות של מים. ע"י השימוש בחומר ארגני ממושך ברכזו 10 מג"ל בלבד ירד מקדם העיכוב ל 400 נפח פורות של מים כאשר השימוש ברכזו של 50 מג"ל של חומר ארגני ממושך הראה הורדה של סדר גודל בערכו של מקדם העיכוב (100-80). הורדה משמעותית זו בערכו של מקדם העיכוב מלאה בזירוז קצב תהילתי ספיקת והדסורפציה. את הזירוז בקצב תהילתיים ניתן ע"י השינוי בנסיבות עקומות הפריצה. כפי שניתן לראות בציפור 8 ככל שריכזו החומר הארגני הטבעי המומס גדל המರיחה והזינוק בעקומות הפריצה קטן. משמעות הדבר שמיועט ספיקת מביאה להגדלת קבוע הקצב k_2 של ספיקת - דסורפציה. כפי שהסביר קודם המקור של הקשר ההפקיד בין קבוע הקצב לבין קבוע הספיקת בשווי-משקל הינו נובע מקשר מנוגני של דיפוזיה פנים חלקית ו/או דיפוזית שטח. ז"א ככל שמקדמת הדיפוזיה פנים חלקיות גדול יותר קצב תהילתי ספיקת ודסורפציה מהירות יותר ולכן ניתן לומר שקיים המזוםן הידרופובי ע"י חומר ארגני ממושם גורם, ככל הנראה, לזרוז והגדלת מקדם הדיפוזיה פנים חלקית.

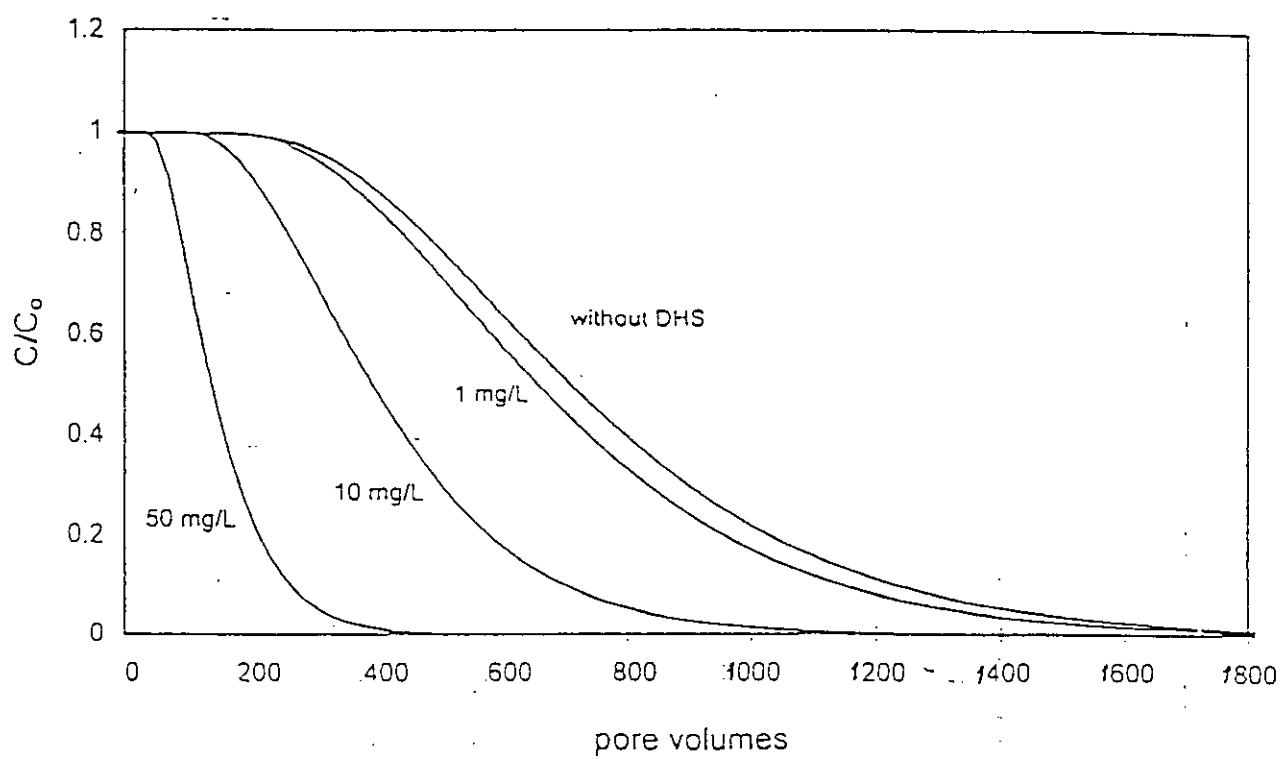
זרוז ספיקת ודסורפציה צפוי עבור מזומנים הידרופוביים ($4.5 > K_{ow} \log$) ואפקט חזק של הקישור על הספיקת והדסורפציה צפוי עבור מזומנים הידרופוביים ממד ($5 > K_{ow} \log$). בציפור 9 מוגנות עקומות האילוציה (שטיפה) של מזוםן הידרופובי חזק (בעל $5 = K_{ow}$ log). בציפור זה רואים שדרושים כ- 2000 נפח פורות של מים על מנת לשטוף את המזוםן מהקרקע בדומה כללית. ע"י השימוש בחומר ארגני ממושך ברכזו של 50 מג"ל, נפח המים הדרוש לשטיפת המזוםן קטן עד ל- 400 נפח פורות. בנוסף לזה, חזית עקומות האילוציה בציפור 9 עבור מזוםן בלבד מאופיינת ע"י זינוק מריחה בסופה, כאשר השטיפה בחומר ארגני ממושך ברכזים השונים הקטינה תופעה זו של זינוק באופן ברור. תופעה של זינוק בחזיות עקומות הפריצה והאלוציה התקבלה כתוצאה של תהילכים קבועי קצב המושפעים מי שווי-משקל של ספיקת-دسורפציה ושל הסעה (Brusseau & Rao, 1989). לכן, ניתן לומר שהקטנת תופעה זו פירושה זירוז בקצב תהילתי ספיקת ודסורפציה כאחד ולא רק



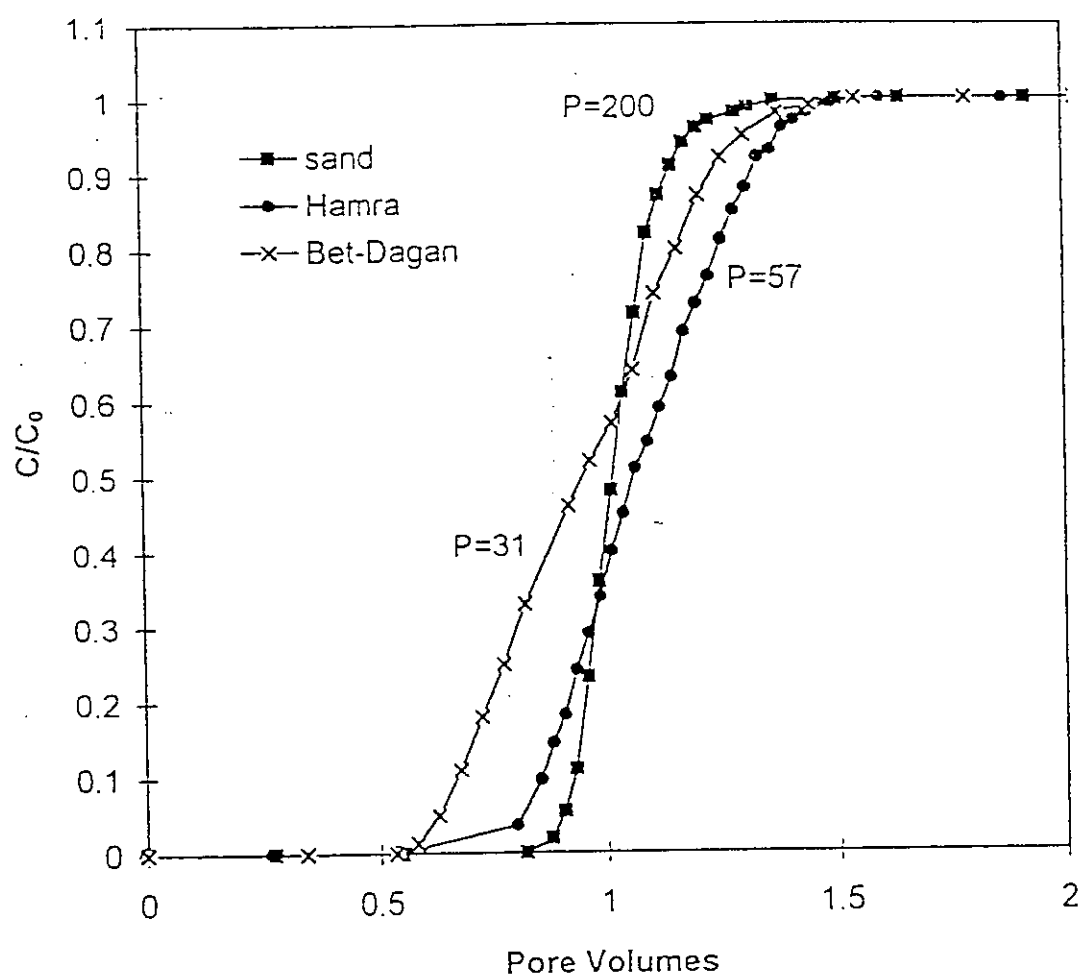
ציור 7 : השפעת חומר אורגני מומס על עקומת פריצת של מזחם אורגני בעל $\log K_{ow} = 3$



ציור 8 : השפעת חומר אורגני מומס על מזחם בעל $\log K_{ow} = 5$



ציור 9: השפעת חומר אורגני מומס על שחרור מזהם בעל ס. $\log K_{ow} = 5$



ציור 10: עקומות הפריצה של הנוtab עם הקרוות הנחקרות

הורדה בערכו של מקדם העיכוב (שווי-משקל). לדבר חשיבות עלינה בנושא נקיutrums מזוהמים (site remediation). ככל שריכוז חומר ארגני מומס גדול יותר צריכה כמויות קטנות יותר של מים וגם דרוש זמן קצר בהרבה על מנת לשטוף קרקע מזוהמת במזוהם ארגני הידרופובי. ז"א זירוז בקצב השטיפה הנובע מזירוזו בקצב תחילה הדסורפציה שמאופיין בהקטנת המריחה והזינוק בחרות עקומת הפריצה ומשמעותו היישומי הקטנה והורדת משמעותית בזמן הדרוש לשטיפת ולשיקום קרקע או אתר מזוהם. את זה ניתן לראות בציור 9 בהשוואה בין שטיפת קרקע מהמזהם ע"י מים בלבד לבין השטיפה ע"י תמיית חומר ארגני טבעי מומס ברכיבו של 50 מג'ל. כדי להוציא 20% מהזיהום (ז"א להגיע ל $C/C_0=0.8$) ההפרש בין שטיפה ע"י מים לבין שטיפה ע"י חומר ארגני מומס ברכיבו 50 מג'ל למגיע לכ- 400 נפח פורות וכדי להגיע להרחקה של כ- 80% ההפרש מגיע לכ- 1000 נפח פורות של מים. הגדרת ההפרש משמעותה היישומית הורדת בכמות מים הדרושה לנקיון כליל של אתר מזוהם והינה תוצאה של הגדלת מקדם הקצב (זירוזו קצב תחילה השחרור) ע"י חומר ארגני טבעי מומס.

בחינת המודלים והקורסיות השונות

חזוי והשוואה לתוצאות נסויוניות

באופן כללי ניתן להשתמש במודל אדויקציה-דיספרסיה-ספיצה (תנוועה-ספיחה) לחזויב לתלי של עקומת פריצה של מזוהם ארגני כלשהו בתנאים הידרודינמיים ומצע נקבובי נתוניים. בפרק זה בוצעו נסויים רציפים מקדים עם מזוהמים ארגניים בטוח רוחב של הידרופוביות דרך קרקעות שונות בצדד לבחון את התאמת החזויב הבלתי לתלי המוצע באופן כללי. גם כן, נבחן המודל והקורסיות לחזויב לתלי נתבי לשם השוואה עם תוצאות מהספרות המקצועית.

עקומת פריצה של נותב

זרימת נוזל במצע נקבובי ספציפי ניתנת לתאור ע"י הניטונים הידרודינמיים והדיספרסיה. במטרה לאפיין את המצעים הנחקרים בוצע נסויי קולונה רציפים עם PFBA tracer שהינו חומר נוטב לא מסתפה (tracer) בספיקה קבועה. ע"י השימוש באנלייז מומנטים (Valocchi, 1985) כפי שהוסבר בפרק חומריים ושיטות נתחנו עקומות הפריצה של הנותב ומהניתנות חולץ מספר פכלט "Pe" המאפיין רמת הדיספרסיה של המצע הנקבובי הספציפי. בציור 10 מוצגות עקומות הפריצה של הנותב (PFBA) עם הקרקעות הנחקרות: חול, חמרה וחמרה בית-דגן. מספרי פכלט הנסיוניים לכל עקומה מצביעים על רמת הדיספרסיה של תנועת נוזל או חומר לא ספיח עם הקרקע הספציפית בתנאי זרימה ספציפיים. ככל שמספר פכלט גדול יותר מושמעו, הדיספרסיה קטנה יותר ועקומת הפריצה תהיה חזקה ומהירה יותר עם מריחה וזינוק מנימליים. תוצאה זו מאפיינת את עקומת הפריצה של הנותב דרך קרקע חול כאשר מספר פכלט היה 200. מספר המצביע על רמת דיספרסיה נמוכה מאד ועקומת הפריצה נוטה להתקרב ככל האפשר לצורת פונקציית מדרגה בריאקטור צנורי בתנאי זרימה בוכניתית אידאלית. לעומת זאת, בשתי הקרקעות האחרות (חמרה וחמרה בית-דגן), מספרי פכלט שהתקבלו היו קטנים יותר, 57 ו- 31 עבור קרקע חמרה וקרקע בית-דגן בהתאם. תוצאה זו אופיינית ע"י פריצה מוקדמת, מריחה וזינוק קלים בסוף עקומת הפריצה בהתאם למספר פכלט. ההבדל בין מספר פכלט המתקבל מהניסיוי הרציף עם קרקע חמרה לבין המתתקבל מהנסיוי עם חול הינו נובע מכך, שקרקע חמרה הינה טרובה של מספר מקטעים שונים של חרשית חול, סילט

ותכולת חומר ארגני. אי הומוגניות זו גורמת לעלייה ברמת היספרסיה (ירידה במספר פכלט). אמנס מספר פכלט אחרים מזה נמכרים מזה שהתקבל עם חול, אבל, תחום זה עדין ברמת דיספרסיה נמוכה, מספרי פכלט שומשו בהמשך לציר עקומות הפריצה החזיות וגם שומשו לציר והתאמה של העקומות הנסיוניות.

مزוזם בלבד (בහדר חומר ארגני מומס אחר)

חלק זה מטרתו לבחון אפשרות חזוי עקומי פריצה של מזוזמים (כל אחד לחוד) על סמך נתוני יסוד (מהקשרים בין נתוני פרמטרי המודל למקדם ω) ודרך החזויה זאת תקרה "יחזויב לתתי תלוי". ב Hintet החזויב תעשה בהשוואה לתוצאות נסיוניות שבוצעו בעבודה זו ובעבודות מהසפרות המקצועית. המשוואות 1 ו- 2 יתארו את התנועה - ספיחה בתנאי אי שוויי משקל (שליטת קצב התהליכים). משוואות אלו פתוחו בהנחה שקצב התהליכים מתרחש לפי מודל שניatri ספיחה אחד מהיר ונקרא שלב שוויי-משקל והשני איטי והוא שלב קבוע קצב כאשר איזוטרמת הספיחה מתוארת ע"י מודל לינארי.

לחזויב וציר עקומי פריצה של מזוזם דרך מצע נקבובי כלשהו דרישים הפרמטריים הבאים:

- R - מקדם העיכוב.
- β - מקדם העיכוב המהיר אשר מתאר את הפרקציה המתעכבות בשלב הראשון לפי מודל שניatri ספיחה.
- ω - מקדם העיכוב Damköhler number לחישב מוקדם העיכוב דרישים קבוע הספיחה הלינארי ונתוני המצע הנקבובי כמפורט בטבלה 2. את קבוע הספיחה ניתן לחשבו ע"י השימוש בקשר בין קבוע זה לבין מקדם אוקטנו-מים ואו מאיזוטרמת ספיחה מנשיי מנתי. נתוני המצע הנקבובי נלקחו מנתוני הנסויים (הקולונות) שלגביהם בוצעה ההשווואה ההנסوية עם החזויב הבלתי תלוי. לחישוב β דרישים R ו- F כפי שמפורט בטבלה 2. ω ניתן לחישוב בעזרת מקדם הקצב (k), R, β והנתונים של הקולונה (L - אורץ הקולונה ומהירות דרסי ממוצעת v).

טבלה 2 : סיכום דרך חישוב הפרמטרים לחזויב עקומי פריצה לפי נתוני יסוד

עקומי פריצה										
R			β (משווהה 4)			(משווהה 5) ω				
K_p	ρ	θ	R	F		K_2	β	R	L	v
קורלציה עם משווהה 29	ג'יסויי קולונה מתאים	משווהה 3	משווהה 29	משווהה 29	תוצאות נסיוניות מהספרות	משווהה 32	משווהה 4	משווהה 3	נסויי колונה	

את הנסויים המיועדים להשוואה עם העקומות המוחושבות בוצעו במערכת רציפה כפי שתואר קודם ועם הקrukעות חמירה, קרקע בית-דגן וחול. ב Hintet החזויב הבלתי תלוי מול התוצאות הנסיוניות בפרק זה חולקה לפי:

- מזומנים שונים עם אותה קרקע (טולאון, נפטלן ופנטרן עם קרקע חמרה ופנטרן ופלורנטן עם חול).

- מזומם אחד עם קרקעות שונות (פנטרן עם קרקע חמרה, בית-דגן וחול).

מזומנים שונים עם קרקע חמרה

קרקע חמרה ששומשה במחקר זה הינה קרקע חולית עניה בחומר אורגני (מכילה 89% חול, 2% חרסית השאר סילט ותכולת הפחמן האורגני שלה הינה כ 0.13%). בהנחה שהספיפה מתורחתש הודות לחומר האורגני שבקרקע בלבד זו יא התרומה של אחוזו החרסית על הספיפה זניחה (אחוז קטן מאד), אזי ניתן לחשב את מקדם הספיפה הלינארי של כל מזומם שהוא לפי הקורלציה 29 המקיימת בין קבוע הספיפה לבין מקדם אוקטנוול-מייט.

שלושת המזומנים שנחקרו בפרק זה היו טולאן ($\log Kow = 2.69$) נפטלן ($\log Kow = 3.37$) ופנטרן ($\log Kow = 4.49$) הפרמטרים הדורושים לציר עקומת הפריצה החזויה חושבו לפי הפרוצדורה המוסברת בטבלה 2 והתוצאות סוכמו בהשוואה לنتائج הניסיוניות בטבלה 3.

הערך של $F=0.52$ (שבר המזומם שנضاف בשלב המהיר) נבחר בהסתמך על הרבה תוצאות ניסיוניות שבוצעו עם קרקע זו והראו ערך ממוצע של 0.52.

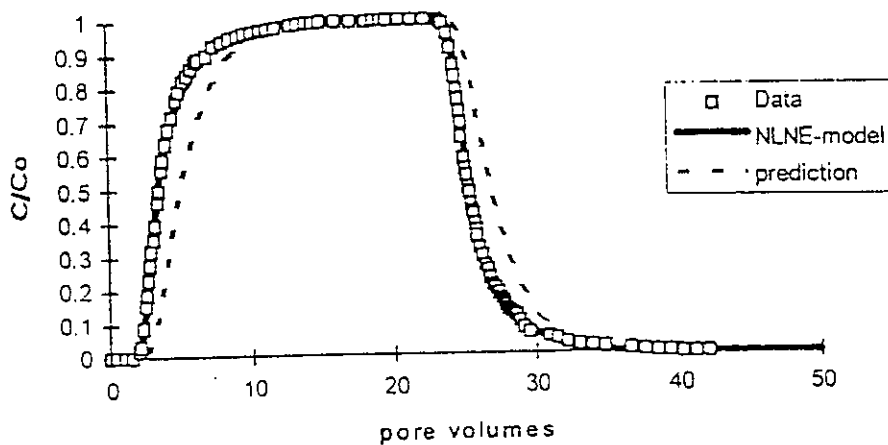
הנסויים בוצעו לפי הפרוצדורה של נסויים רציפים המפורטים קודם (ראה דוח שנה ב'). בנוסף לחזוי הבלתי תלוי של עוקמי הפריצה מנתוני היסוד של החומרים ונתוני הקרקע המסתפת ותנאי הנסיון בכל קולונה, בוצעה התאמת הניסיוניות למודל האופטימיזציה הלא ליניארית CFITIM של Van Genuchten (1981) מודל ההתאמה הינו מסתמך על תוכנית אופטימיזציה המחשבת לפי עקומת הפריצה והאלוציה הנסיונית את המקדים הדורושים לציר עקומת הפריצה (מקדם העיקוב R , β , α ו- ϕ).

בצורים 11 ו- 12 ניתן לראות את עוקמי הפריצה והאלוציה הנסיוניות, החזווי הבלתי תלוי וההתאמה האופטימלית (לפי CFITIM) של נפטלן וטולאן בהתאם, עם קרקע חמרה. באופן כללי, הצורה של עוקמי הפריצה החזויים בדרך הבלתי תלויות מתאמיות לצורות ולמיקום של עוקמות הפריצה הנסיוניות והモותאמות למודל CFITIM העקומות החזוויות פרצו מהר מאשר הנתונים הנסיוניים, דבר שנגרם, ככל הנראה, מהתוצאות הרבות בדרך החישוב וההערכות השונות החל בערכו של מקדם הקצב מסדר ראשון ועד ערכי פרמטרי השווי-משקל בנוסף להנחה הגסה הקשורה בערכו של F (שבר הספיפה המהירה) כאשר לערכו של F יש השפעה על β .

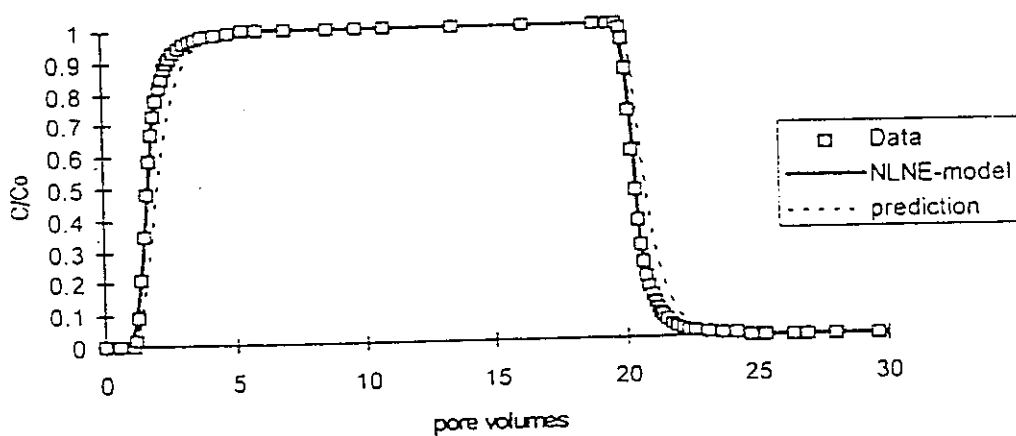
ציור 13 מתראר את עוקמי הפריצה החזווי והנסוי של פנטרן עם קרקע זו. גם כאן החזווי הבלתי תלוי של עקומת הפריצה של פנטרן התאים בצורה מצוינת לעוקם הפריצה הנסיוני. מסדרת הציורים הנ"ל של המזומנים השונים על קרקע חמרה ניתן לראות ככל שהמזומם הידרובי יותר קבוע הספיפה גדול יותר וקצב התהליכים איטי יותר. תוצאה זו מאפיינת עוקם פריצה מוקדם עם זינוב ומריחת גדולים יותר. דבר המאפיין את עקומת הפריצה של פנטרן (הידרובי חזק) לעומת המזומנים הפחות הידרוביים כמו נפטלן וטולאן.

פנטרן ופלורנטן עם חול

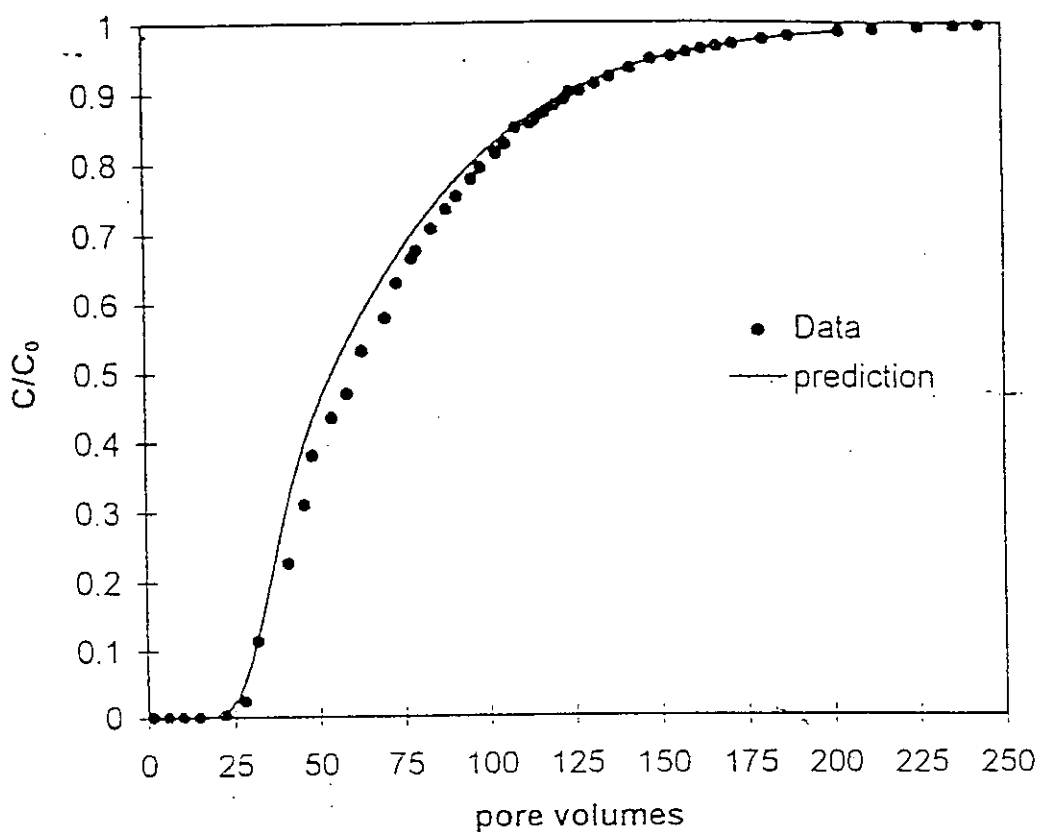
החול מכיל כ 0.019% חומר אורגני. מספר פכלט מנשי נוטב PFBA עם קולונה של חול היה 200. ערך גובה זה מראה רמת דיספרסיה מינימלית שניתנו להזניחה. במערכת חול בוצעו נסויים רציפים



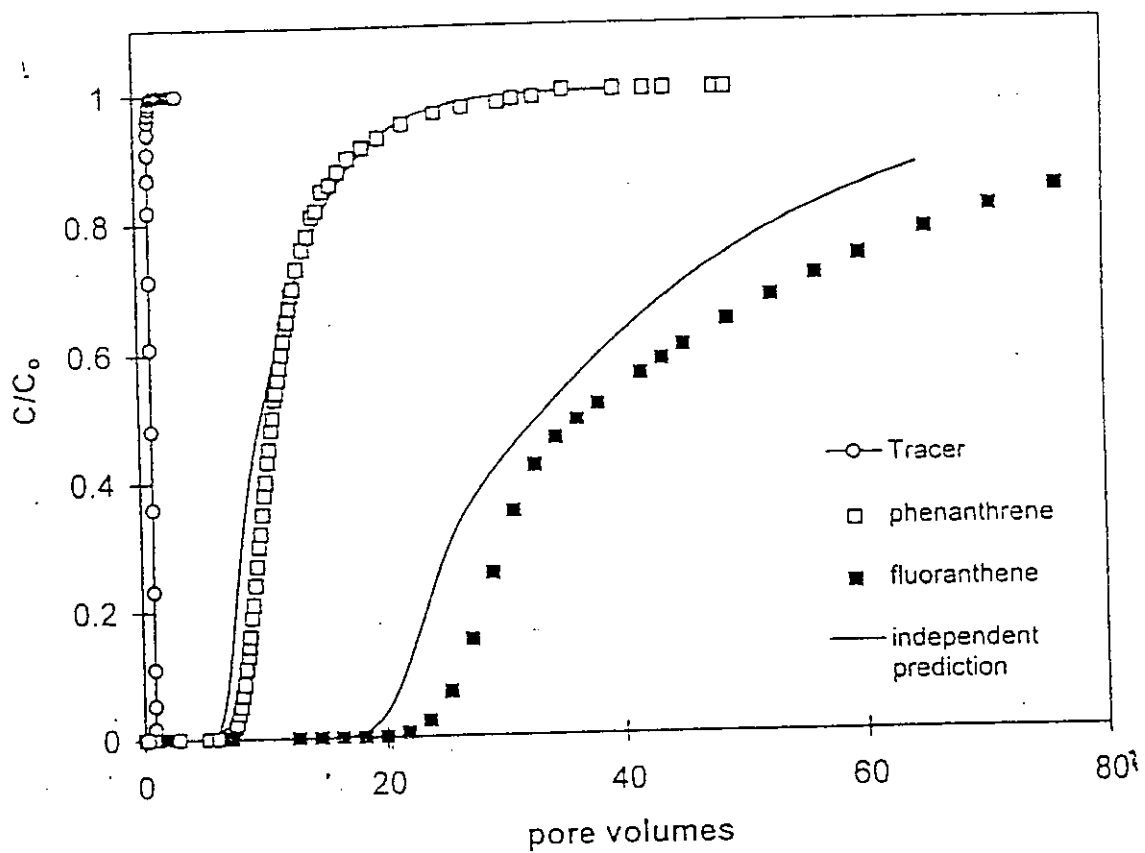
ציור 11: עקומת פריצה ואיילוציה של נפטלן עם קרקע חמרה (השוואה בין מודל NLNE לבין מודל בלתי תלוי)



ציור 12: עקומת פריצה ואיילוציה של טולואן עם קרקע חמרה (השוואה בין מודל NLNE לבין מודל בלתי תלוי)



ציור 13 : עקומת פריצת של פנטרן עם קרקע חמרה (השוואה תוצאה ניסיונית לבין מודל בלתי תלוי)

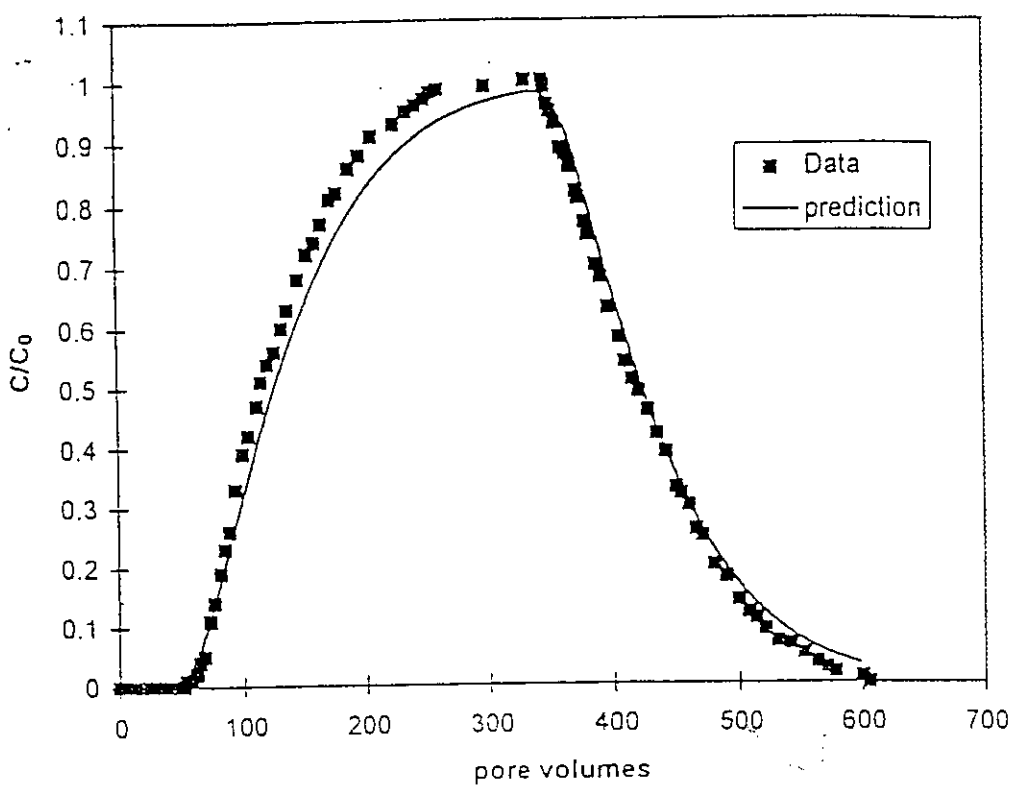


ציור 14 : עקומות הפריצה הניסיונית והחזויות של פנטרן ופלורנטן דרך קרקע חול

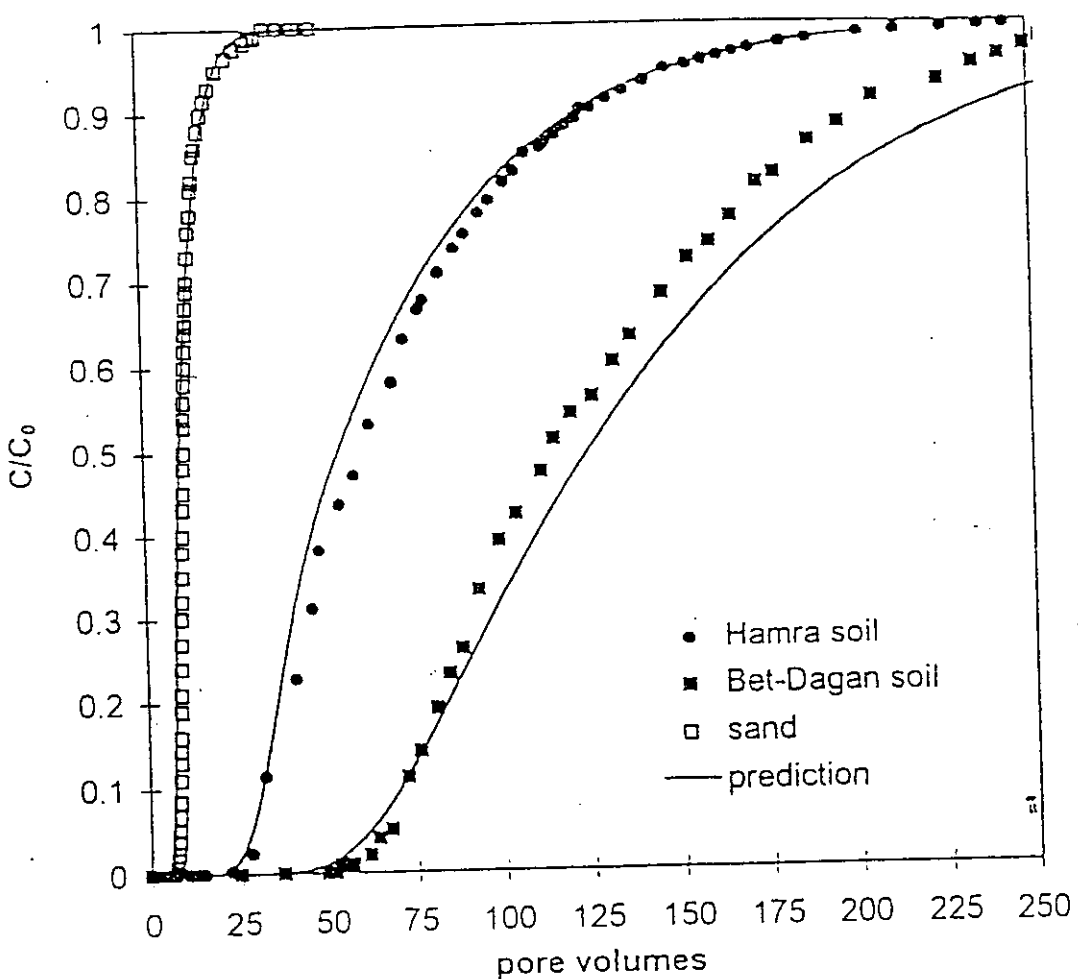
פננטרן ופלורנטן. בציור 14 מוצגים עוקומי הפריצה הנסיוניים של פננטרן ופלורנטן במערכת קרקע חול כנגד העוקמות החזויות באופן בלתי תלוי. החזוי הבלתי תלוי על עוקמות הפריצה בוצע לפי שתי שיטות: הראשונה כאשר קבוע הספיחה בשוויי-משקל חושב לפי משווהה 29 והשנייה לפי קבועי הספיחה של שני המזוהמים חולצו מאייזותרמות הספיחה שלהם מנשיי ספיחה מנתיים. בציור 14 ניתן לראות בדומה ברורה ביותר את ההבדל בזרות עוקמי הפריצה של פלורנטן ופננטרן. העובדה שחול הינו מספח חלש מאד אפשרה בחינת מזוהם אורגני דוגמת פלורנטן שהינו מזוהם הידרופובי חזק מאד ($K_{ow} = 5.14$) לעומת פננטרן שנחשב להידרופובי ביןוני עד חזק. בציור זה ניתן להצביע על שתי תוצאות חשובות, הראשונה והיא העובדה שיש עד בחינה למודל החזוי והפעם בהסתמכות על תוצאות מנשיים מנתיים לחישוב מקדם הספיחה (נסויים מנתיים לקביעת אייזותרמות הספיחה של פלורנטן ופננטרן עם חול). תוצאה שנייה הינה העובדה הנסיונית עצמה שהתקבל הבדל בין זורת עוקמות הפריצה של פלורנטן (פריצה מוקדמת, זינוב ומריחת גדולים) לבין עוקמות הפריצה של פננטרן (פריצה חדה). הדבר שנובע מכך שקצב תהליכי הספיחה של פלורנטן איטי יותר כתוצאה מזו שהוא הידרופובי חזק יותר (קבוע הספיחה גדול). תוצאה אשר הتبטהה בפריצה מוקדמת (ביחס לציר האמצע) וזינוב ומריחת גדולים יותר מאשר עוקמות הפריצה של פננטרן. תלות הפוכה בין מקדם הקצב לבין קבוע הספיחה (משווהה 33) ניתן ליחסה למנגנון דיפוזית שטח. מסקר הספורות ניתן לראות שהקשר ההפקן הינו מתבסס על יחס בין שוויי-משקל לבין הקצב הדיפוזוני (דיפוזיה פנים חלקיקית ו/או דיפוזית שטח) ולא רק על קורלציה אמפירית (Brusseau et al., 1990). שמדובר במקרה של חול, אז ניתן לומר שדיפוזיה פנים חלקיקית הינה זינית ודיפוזית שטח יכולה להיות המנגנון השולט בקצב התהליכים ואז ככל שהמזוהם הידרופובי יותר הוא מתקבב יותר על אתר מסוים ויידרש לו זמן גדול יותר עד שייעבור לאתר חדש פנימי יותר או באתר בעל אינרגית ספיחה שונה. קפיצה איטית זו מאתר לאתר או על פני שטחי אטרי הספיחה השונים בחול ומרכיביו האחרים נקראת מגזית שטח והוא מנגנון הקובע קצב. לכן ככל שהמזוהם הידרופובי יותר, לפי מנגנון דיפוזית שטח, קצב תהליכי הספיחה יהיה איטי יותר.

פננטרן עם קרקעות שונות (חמרה, קרקע בית-דגן וחול)

קרקע חמרה בית דגן דומה בהרכבה הפיסיקלי לקרקע חמרה הקודמת, אבל מכילה חרסית וחומר אורגני באחוזים גדולים יותר (85% חול, 10% חרסית, 5% טין ו- 0.3% פחמן אורגני). משמעו שיכולת הספיחה של קרקע זו תהיה גדולה יותר. הנטי בווצע בתנאי מהירותי דרסי של 6 סמ/שעה, שעבורה מספר פכלט המתאים היה $P=31$, ציפויות הקרקע ($K_p=1.47$) ושבר החללים ($\theta=0.47$). בציור 15 ניתן לראות את עוקמות הפריצה והשתיפה של פננטרן עם קרקע חמרה בית דגן כנגד עוקמות הפריצה המוחשבת (חזוי בלתי תלוי) שחוسبة לפי אותה דרך כמו עוקמות הפריצה והשתיפה בציורים 13-11. קבוע הספיחה המוחשב לפי משווהה 29 היה $g/mL = 42.1 K_p$. לפי אותה פרצודורה כפי שモפיעה בטבלה 2 חושבו שאר הפרמטרים (β , φ , ו- R). ציור 16 מתאר את עוקמי הפריצה הנסיוניים והחזויים באופן בלתי תלוי של פננטרן עם שלושות הקרקעות הנחקרוות בפרק זה (קרקע חמרה, קרקע בית דגן וחול). בציור זה רואים שעקומת הפריצה של פננטרן התקבלה ראשונה בקרקע חול עם מקדם עיכוב של 12.8, לאחר מכן התקבלה עם קרקע חמרה כאשר מקדם



ציור 15: עקומת פריצה ואילוציה של פננטרן עם קרקע בית דגן (השוואה בין תוצאות נסויניות לבין תוצאות בלתי תלוי)



ציור 16: עקומות הפריצה נסויניות וחוויות של פננטרן דרך קרקע חמרה, בית-דגן וחול

העיכוב היה 21.1 ובסוף הפריצה של פננטרון האחרון הייתה עם קרקע בית-דגן ועם מקסם עיכוב של 40.73%.

בנסיבות הקודמים של פרק זה נותחה התוצאה של התאמת החזוי הבלתי תלוי של אותם עוקומי הפריצה עם התוצאות הניסיוניות כאשר הניטות התייחסו לקטגוריות אחרות שבן החזנו הניטויים. החיש בציור זה הינו הבלתי ההבדל בין הקרקען השונות. אמנס לא הייתה אפשרות לשולוט ולשנות רק הרכב מסוימים של הקרקען הנחקרים מהטיבה שחן קרקע טבעיות, אבל ככל להתמקד בתכולת הפחמן הארגני כפרקציה הדומיננטית ביותר לגבי קובלות הספיחה. את ההתקדמות בתכולת הפחמן הארגני כתורם עיקרי לתהליכי הספיחה אפשרית במקרה זה מהטיבה שבשלושת הקרקען אחוזו החרסית (התורם השני אם בכלל) הינו נמוך מאוד 0.5-10%.

המסקנה המתבקשת מצירז זה היא ככל שתכולת הפחמן הארגני בקרקען גובה יותר אזי הספיחה של אותו המזוהם תהיה חזקה יותר וקצב התהליכי יהיה איטי יותר. משמעו ככל שהקרקען הידרופובית יותר (תכולת הפחמן הארגני שלה גדולה יותר) אותה תופעה מתתקבלת עם אותו המזוהם כפי שהתקבלה עבור המקרה של מזוהמים שונים (הידרופוביות שונה) עם אותה קרקע.

בחינת החזוי הבלתי תלוי עם תוצאות ניסיוניות מהספרות המקצועית

עוד בחינה של החזוי הבלתי תלוי של עוקומות הפריצה בוצעה עם תוצאות ניסיוניות מהספרות המקצועית. (Magee et al. 1991) הציגו עוקמת פריצה של פננטרון (phenanthrene) דרך קרקע חולית עניה בחומר אורגני (%OC=0.11%, θ=1.65, R=3.38) . כפי שניתן לראות מהרכבה של קרקע זו את מידת הדמיון עם קרקע חמרה אשר שומשה במחקר זה. על סמך אחוזו הפחמן הארגני ולפי משווהה 29 מקסם הספיחה (חלוקת) המחשב היה $g/m^3 \cdot 15.43$ ומקסם העיכוב היה 74 לפי משווהה 3 הערך של מקסם העיכוב המתווכח התאים בצורה טוביה לערך הניסיוני שהתקבל ע"י החוקרים ($R=79$).

השימוש בקשר בין מקסם הקצב מסדר ראשון (R_1) לבין מקסם החלוקה (K_p) היה מוצלח, גם בהערכת מקדמי הקצב הדורושים לחזוי בלתי תלוי עבור תוצאות הניסוי של Magee et al. (1991) במטרה לחשב את הערך של מספר פכלט בוצעה אנליזות מומנטים (Valoochi, 1985) על תוצאות עוקמות הפריצה של נוטב (O_2H_2) שהתקבלה בחקירותם של החוקרים הניל והתקבל הערך $P=11$. מאחר והקרקען שנחקרה ע"י Magee et al. (1991) הייתה דומה בהרכבה לקרקען חמרה שנחקרה בעבודה זו אזי ניתן להניח ערך $F=0.52$ (הפרקציה הנספחת בשלב המהיר). על סמך ערך זה של F של R ושל קבוע הספיחה המתווכח, חשבו הערכים β (0.47) ושל φ (2.12) לפי המשוואות המתאימות ועל סמך הפרוצדורה המתוארת בטבלה 2 כל הערכיהם של הפרמטרים השונים סוכמו בטבלה 3.

בציור 17 ניתן לראות את עוקמת הפריצה הניסונית של פננטרון עם הקרקען הנחקרת ע"י Magee et al. (1991) בהשוואה לעוקמה החזויה מנתוני יסוד ונוטבי הקרקען. בנוסף לחזוי הבלתי תלוי, מוצגת בציור זה, גם ההתאמה לפי מודל CFITIM (NLNE). ציור זה מראה ההתאמה טוביה מאד בין העוקמה החזויה בדרכן בלתי תלוי לבין התוצאות הניסיוניות. עוד הוכחה וההתאמה של גישת החזוי הבלתי תלוי גם עבור תוצאות ניסיוניות מהספרות המקצועית.

את הדמיון בין הקרקען של Magee et al. (1991) וקרקען חמרה שלאו גרים לקבלת עוקמי פריצה של פננטרון זיהם מאד כפי שניתן לראות בפרמטרי העוקמות בטבלה 3.

בנסוי אחר, (1991) Magee et al. חקרו את הפריצה של פנטרן בנוחות חומר פולבי דרך אורה קרקע (חולית). את החזוי הבלתי תלוי של עקומות הפריצה של פנטרן בנוחות חומר פולבי (חומר חומי מומס) בוצע על סמך חישוב הפרטורים לפי פרוצדורות החזו שפורטו קודם רק מנקודות מבט של בחינת מודל החזו הבלתי גלי וההתאמאה עם תוצאות נסיוניות.

בהמשך בוצעו תוצאות של עקומות הפריצה של מזהמים שונים (ערכי Sow שונים) ובבחנה ההשפעה של חומר אורגני מומס על זוירוז תנואה וקצב הימי ספיחה וחרור. השתמשנו במשוואות 29 לחישוב מקדם הספיחה, 27 לחישוב מקדם הקישור, 22 לחישוב מקדם העיכוב, 23 לחישוב β ומשואה 19 לחישוב φ כאשר המקדם הקינטי k_1 חושב ע"י משואה 33.

את תוצאות החזו הבלתי תלוי לעומת התוצאה הנסיונית מוצגות בציור 19 כפי שניתן לראות מהציר התקבלה התאמה טוביה בין עקומות הפריצה החזויה לבין העקומה הנסיונית. ההבדל בין שתי העקומות נבע מההבדל בין מקדם הקצב המוחשב ($4.2 = \phi$) לבין המקדם הנסיוני $\phi = 0.6$. הבדל, קטן, שגרם לפריצה חזואה של פנטרן אחורי הפריצה הנסיונית. בכלל אופן, הסטייה בין שתי עקומות הפריצה זניחה וניתן לייחסה לשגיאה היחסית של הקורלציה המקשרת בין מקדם הקצב לבין קבוע הספיחה.

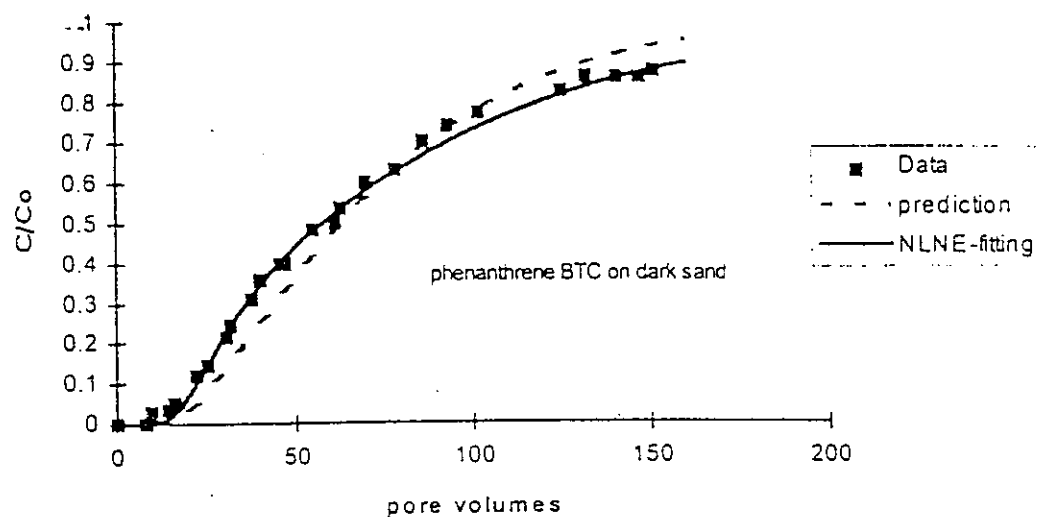
בנוסף להבדל בין קבוע הקצב במוחשב והנסיוני התקבל הבדל קל בין מקדם הקישור המוחשב לפי משואה 27 שהיא $\log K_d = 4.351$ לעומת $\log K_d = 4.64$ ($\log K_d = 4.64$) לפי שיטת הדעיכה הפלורוסנטית (Magee et al. 1991).

טבלה 3: תוצאות נסיוניות וחזויות של מזהמים אורגניים הידרופוביים

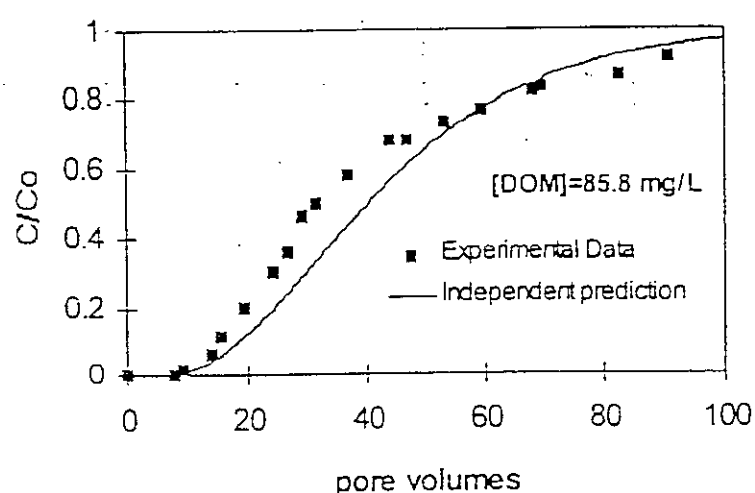
	P	K_d (mL/g)	R	α	β				
		calc	Exper.	Calc	Exper.	calc	Exper.	calc	Exper.
Toluene	57	0.31	0.22	2.17	1.811	1.21	.26	0.8	0.88
Naphthalene	57	1.48	0.83	5.5	4.13	1.6	.707	0.68	0.706
Phenanthrene (Hamra soil)	57	19.54	21.1	67.7	72.99	1.66	1.41	0.58	0.53
Phenanthrene Bet-Dagan soil	31	45.10	40.73	141.9	130.8	1.83	1.91	0.6	0.61
Phenanthrene (with DOM) (Magee et al.)	11	10.1	6.4	44.86	44.6	4.2	0.6	0.511	0.6

נתחם כלל

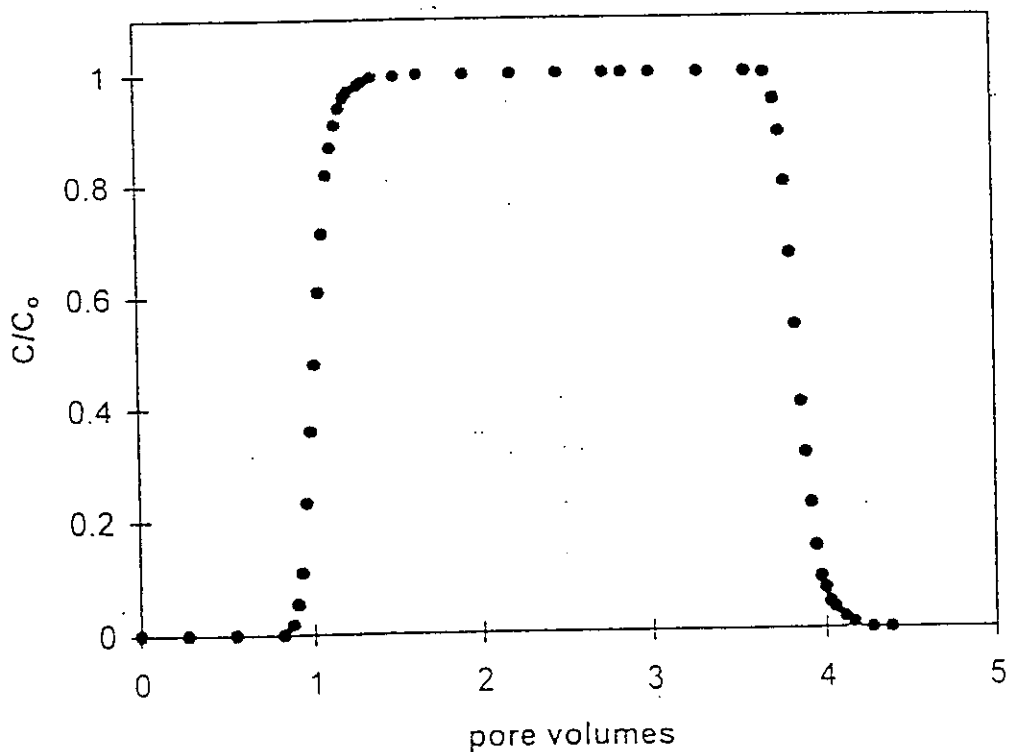
פרטורי תנואה-ספרחה של פנטרן עם קרקע חמורה בית דגן ופנטרן, טולאן ונפטلن עם קרקע חמרה ופנטרן ופלורנטן עם חול סוכמו בטבלה 3. מעקומות הפריצה ומהערכיהם אשר סוכמו בטבלה 3 ניתן לראות התאמה טוביה מאוד בין עקומות הפריצה החזוית באופן בלתי תלוי בזרכים השונים (מנטוני הייסוד כפי שפורסם בטבלה 2 או מנוטיים מנוטיים) לבין העקומות הנסיוניות. בנוסף לכך, ניתן להבחין בהבדל גדול בין צורות עקומי הפריצה של המזהמים השונים עם אותה קרקע ושל אותו המזם עם הקרקע השונות כפי שניתן לראות בציור 16 את עקומות הפריצה



ציור 17 : חיזוי בלתי תלוי מודל NLNE עבור התוצאות של 1991 (Magee et al.)



ציור 18: חיזוי בלתי תלוי עבור פנטרן (Magee et al. 1991) עם חומר אורגני מומס



ציור 19 : עקומות הפריצה של גונת (PEBA) בדבון כהה ועטוף בפ

של פנטרן עם שתי הקרוקות חמרה וקרקע בית דגן. אותו הדבר, ככל שהמזהם האורגני יותר הידרופובי עוקמת הפריצה מאופיינית בפריצה מוקדמת יותר ומתקבלת צורה של זינוב בסופה. מצד אחר ניתן להבחין בתופעה זהה עם אותו המזהם כאשר הקרקע שונה. ככל שהקרקע מכילה יותר חומר אורגני (מהזרב על שתי הקרוקות חמרה ובית דגן) ז"א כושר הספיחה שלה חזק יותר אז עוקמת הפריצה מתקבלת מוקדם ותואופיין ע"י זינוב בסופה. משמעות הדבר הינו, ככל שמדובר הספיחה גדוֹל יותר וטיפות הפריצה המוקדמת והזינוב בסופה מתקבלת. דבר המצביע על קצב איטי יותר ככל שcosaר הספיחה לקרקע גדוֹל יותר ומהוּה הוכחה ועובדת נסיוונית נוספת לנוכנות הקשר ההפוך בין מוקדם הקצב לבין קבוע השווי-משקל. ז"א ככל שקבוע הספיחה גדוֹל יותר קצב התהליכים איטי יותר.

פריצה מוקדמת עברו המקרה של שליטות קצב התהליכים עבור מזהם אורגני הידרופובי חזק, משמעותה, שהפריצה של המזהם מתחילה מוקדם יותר מאשר פריצתו לו תחילך הספיחה היה מתרחש בתנאי שווי-משקל. אמנם, ערך מוקדם העיכוב של מזהם כלשהו תלוי בתנאים הפיסקלים של הקרקע לא תלות במנגנון התהליכים (תנאי שווי-משקל או בתנאי שליטות קצב דיפיזונית) אבל, עוקמת הפריצה של המזהם תהיה תלולה ומושפעת בצורה משמעותית במנגנון התהליכים. ז"א, לתהליכי ספיחה-דסורפציה שמרתחשים בתנאי שווי-משקל או בתנאי שליטות קצב דיפיזוני לפי המודלים השונים אשר נבחנו בעובדה זו אין השפעה על ערכו של מוקדם העיכוב, אבל הבדל משמעותי יתקבל כתוצאה עוקמת הפריצה (מרוחה עם זינוב או חזקה). המשמעות היישומית מתוצאה זו היא שבנוסף לחישוב והערכת מוקדם העיכוב של המזהם נחוצה הערכה וחישוב של מוקדם הקצב לחזוי מושלים של תנואה ופריצה של המזהם במצע נקיובי בתנאי זרימת מים מוגדרים. הפריצה המוקדמת עם זינוב ומריחת תאופיין בהפרש והבדל של עד עשרות אחוזים בין אם תהליכי הספיחה-דסורפציה התרחשו בתנאי שווי-משקל לבין התרחשותם בתנאי שליטות קצב התהליכים.

את שליטות קצב התהליכים ניתן ליחס לדיפוזיה פנים חלקית תוך חומר אורגני (Brusseau et al. 1989, 1990, 1991) במרקם בהם הקרקע מכילה אחוז חומר אורגני בלתי זיניה וחומר אורגני זה הוא הדומיננטי לתחילך הספיחה. במרקם אחרים וכשמדובר בספיחה על שטח פנים של מינרל אזי ניתן ליחס את שליטות הקצב למנגנון דיפוזית שטח (מגרצת שטח). את הקשר ההפוך בין מוקדם הקצב לבין קבוע הספיחה הינו נגורת של מנגנון דיפוזיה פנים חלקית או פנים חומר אורגני בפזה המוצקה במרקם הקרקע תמרה כאשר עיקר הספיחה התרחשה עם תכולת החומר האורגני שבקרקע או דיפוזית שטח כאשר מדובר בחול. לגבי חול תואר שטח הפנים של חול בשטח הומוגני הינה טעות, להיפך ניתן להניא שחתיפול בחומצה גורם לייצירת אטריס ספיחה שונים במרקחים וזרמיות שונה. כתוצאה לכך נוצרו אטריס ספיחה הן על שטח הפנים של החול והן על שטח הפנים של המינרלים ותחומיות השונות עם אנרגיות ספיחה שונות. ז"א מולקולת של מזהם אורגני שנספחה על אתר ראשון מעבר ע"י מגרצת שטח לאתר ספיחה אחר ולזה כוונתנו מנגנון דיפוזית שטח.

סיכום ויישום

באופן כללי בפרק זה בוצע ניסיון מיוחד של חקירת ולימוד מצעים וקרקעות שונות עם מזהמים בטוחה הידרופוביות רחבות (מ- $\log K_{ow} = 2.5$ ועד ל- $\log K_{ow} = 5.2$). למסצאי פרק זה חשיבות ומשמעות

שוניים במצאים נקבוביים ובתת קרקע בכלל. ניתן לסכם את ממצאי חלק זה של המחקר בכך, שבאופן כללי ניתן לבצע תחזית טובה לתנועה של חומר ארגני מסוים נתון בקרקע (מצע נקבובי) אם ידועים לנו נתוני המצע הפסיקליים (צפיפות ופרזיביות) והנתונים ההידרודינמיים (מהירות דרסי ודיספרסיה). המשקנה החשובה כאן, היא שליטת קצב התהליכים ספיחה-דיסורפציה בכל המקרים שנחקרו (חמרה, בית דגן וחול) וכן על מנת לבצע תחזית מדויקת לעוקמת פריצה יש לחתה בחשבו את שליטת הקצב של התהליכים השונים. בפרק הקודם התקבלו עבדות נסיוניות רבות אשר הצבעו בצורה חד משמעית, שאכן, התהליכים בשליטם עיי' קצבי ספיחה ודיסורפציה והנחת שווי-משקל מקומי לא התקיימה ברוב המקרים. מצד אחר, הוכחה הקורלטציה הממשרת בין קבוע הקצב באופן הפוך לקבוע הספיחה בכל המקרים והתקבלו תחזיות טובות מאוד עם התוצאות הנסיוניות של עבודה זו ושל תוצאות מהספרות המקצועית.

חומרים ארגניים טבויים מומסים (חומרה הומית ופולביה)

בחלק זה נחקירה השפעת חומרים ארגניים טבויים מומסים (חומרה הומית וחומרה פולביה) על תנועה ספיחה וחרור של המזחים פנטרין ופלורנטן דרך חול. לפי עוקמת הפריצה והאלוציה של הנוטב (tracer) PFBA המתוארת בציור 19 ניתן לראות עוקמת פריצה סימטרית המוכיחה תנועת נותב אידילית שלאמושפעת מדיספרסיה הדבר הנובע מהומוגניות המצע הנקבובי. עוקמת הפריצה הסימטרית והאידילית של PFBA עם חול מתבטאת במספר פכלט גבואה (200) דבר המצביע על דרגת הומוגניות גבוהה של החול ועל דרגת דיספרסיה נמוכה מאד. גם כן, קיבלת מקדם עיקוב של 1 מהניתוח של אנליזת מומנטים (Valocchi 1985) מוכיחת אי-קיום ספיחה כתוצאה מהמצאות פאזה ניידת ופאזה נייחת (mobile-immobile phase).

עוקמות פריצה של חומר ארגני טבוי מומס

עוקמות הפריצה של חומר הומי "dissolved humic substances" (חומרה הומית (HA) וחומרה פולביה (FA) מצוי מכבר) בהשוואה לעוקמת הפריצה של הנוטב (PFBA) דרך קולונה של קרקע חול מותוארות בציור 20 כפי שניתן לראות מכך זה עוקמות הפריצה הנסיונית של הנוטב ושל החומר הומי והפולבי דומות מאד, דבר המראה שאין כל ספיחה ועיקוב של החומר הומי והפולבי על קרקע זו.

מצאי חלק זה מאפשרים שימוש בחומרים ארגניים טבויים אלו לחקירת השפעת הקישור שלהם עם המזחים הארגניים ומאפשרים בחינת המודל הפשטוט שבו מתקיים ההנחה שחותמר הומי ומרכיב קשרו הומי-מזח לא מסתפים על הקרקע. הנחה שהסתמכת על כן, שמהמרכיב הקשור הומי-מזח מתנהג כמו החומר הומי החופשי וرك המזח החופשי יכול להשתתף ולהתערב בקרקע. זאת הייתה האבן המכונת בחלק זה של העבודה אחורי חיפוש קרקע או מצע נקבובי שלא מתעכ卜 דרכו החומר הומי והפולבי. קרקע חול שעבירה טיפול בחומרה ענתה על דרישת זו כפי שניתן לראות בציור 20.

עיקומות פריצה של מזוהמים מקבוצת PAH

תנוועת וגורל המזוהמים פננטרן ופלורנטן נחקרו בעבודה זו עם קרקע חול מטופל. נבחרו שני המזוהמים עם דרגות הידרופוביות שונות: פננטרן עם K_{ow} של 4.46 ופלורנטן K_{ow} של 5.14. על מנת להבטיח את התלות של הקישור עם הידרופוביות של המזוהם. המסיטות של פננטרן והסיטות של פננטרן ופלורנטן הינה 1200 ו- 260 מיקרוגרם/ליטר בהתאם. מסיסות של פננטרן נחשבת לגבורה יחסית למזוהמים מקבוצת PAH.

בציר 21 מוצגות עיקומות הפריצה של פננטרן ופלורנטן דרך קרקע חולץ. כפי שנitinן לראות מציר זה עיקומות הפריצה לא סימטריות ותופעת זינוב המUIDה על שליטה קצב תהליכי ספייה ודסורפציה שמדובר על מגנון מעבר חומר ודיפוזית שטח במורה זה (ראה ניתוח מפורט בפרק 7). לשתי עיקומות הפריצה הותאמו מודל ENLN של Brusseau et al. (1990) המתבסס על מודל CFITIM של (1981) Van Genuchten לפיו מגנון קצב התהליכים מתואר לפי שני אתרים ספייה (מודל שתי הקופסאות).

לפי מודל האופטימיזציה CFITIM חושבו הפרמטרים β ו- φ. β הינו הפרמטר של פרקציית המזוהם הנשפכ בשלב המהיר (שוו משקל) ו- φ מקדם המתאר את השלב הקינטי בתהליכי ספייה-דסורפציה המתאים למודל שתי הקופסאות.

בטבלה 4 סוכמו פרמטרי מודל CFITIM עבור עיקומות הפריצה של פננטרן ושל פלורנטן. מטבלה זו ניתנת לראות, את ההשפעה של הידרופוביות על דרגת הספייה מצד אחד ועל קצב התהליכים מצד אחר כאשר מקדם הקצב של הדסורפציה מסדר ראשון, k_1 עבור פננטרן היה 4.79 hr^{-1} עבור פלורנטן שהינו מזוהם בעל דרגת הידרופוביות גדולה יותר וכושר ספייה גדול יותר, קבוע הקצב היה 0.37 hr^{-1} . בדר גודל בערכו של המקדם הקינטי הינה נחשבת לירידה משמעותית מאוד ומתבטאת בזרות עיקומת פריצה המת吁לה מוקדם, שטוחה ובעל זינוב גדול וארוך בסופה. קצב חולץ ונשלט בזרה ברורה יותר ככל שהמזוהם הארגני הדורופובי יותר. כמו כן, הערך של β יותר גדול עבור פננטרן (0.70) מאשר הערך שלו עבור פלורנטן (0.58). תוצאה זו מוכיחת את הקשר בין הפרקציה הנשפחת בשלב המהיר לפי מודל שתי הקופסאות לבן דרגת הידרופוביות של המזוהם, ז"א ככל שהמזוהם הידרופובי יותר הפרקציה הנשפחת בשלב המהיר קטנה יותר.

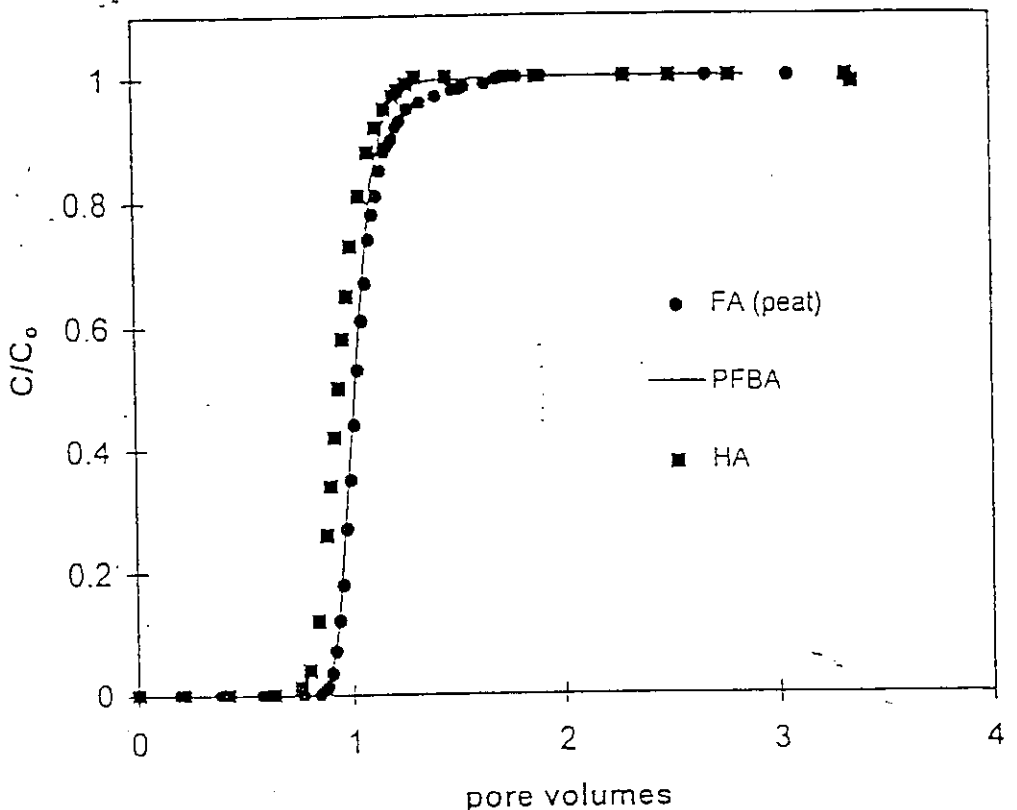
תוצאה זו מחייבת על כך, שככל שהמזוהם הארגני הידרופובי יותר קצב תהליכי ספייה והדסורפציה איטי יותר. מפרקים קודמים נთחו מקרים דומים והתקבל שקצב זה קשור באופן הפוך עם קבוע הספייה. תוצאה אשר התקבלה בזרה נסיוונית ואשר נתחה ונקשרה למגנון דיפוזית שטח במרקחה של הספייה על חול.

השפעת חומרים הומים מומסים (הומי ופטלי) על עיקומות הפריצה

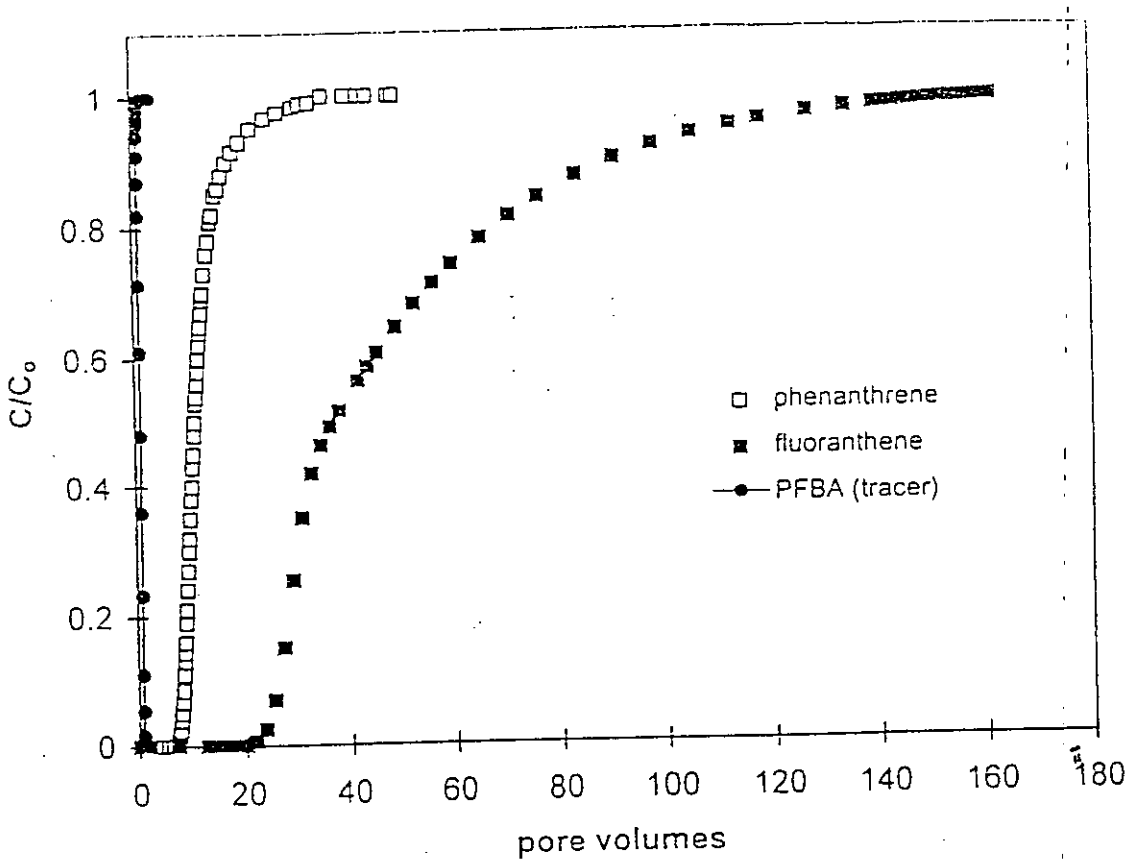
זירוז התנוועה וקצבבי תהליכי ספייה ושהזר ע"י חומרים ארגניים מומסים ברכיבים שונים וממקורות שונים נחקרו בחלק זה.

השפעת מקור חומר ארגני מומס

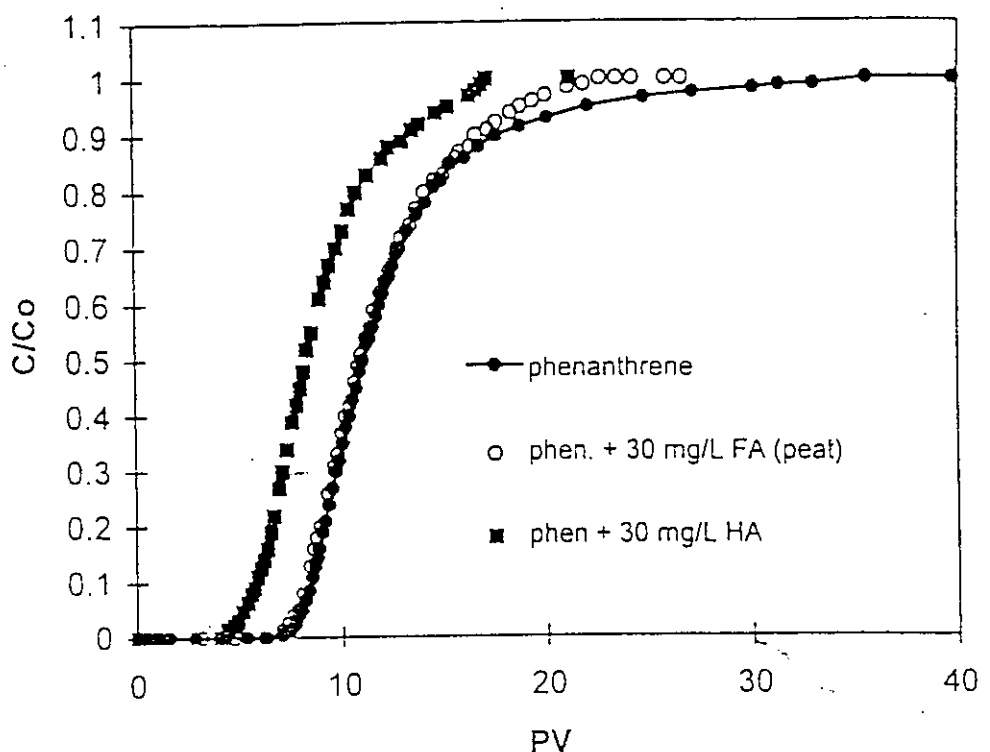
ציר 22 מתאר את השפעת חומרים הומים מומסים (SHM) ממוקורות שונות על התהליכים המתרחשים בין פננטרן לבין קרקע חול. בziejור זה מתוארות עיקומות הפריצה של פננטרן בלבד דרך קולונה של חול, פננטרן בונוכחות 30 מג'ל של חומר פולבי מצוי מכבול (דרך מצוי של חומצה



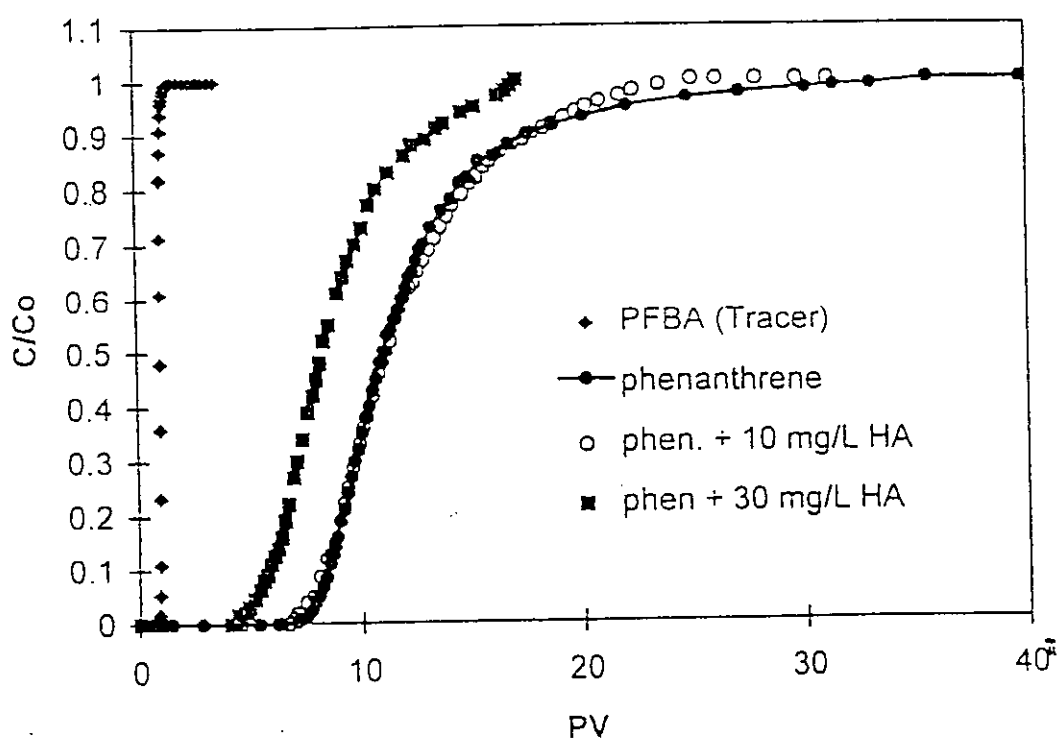
ציור 20: עקומות הפריצה של PFBA חומצה הומית וחומצה בולבית בקרקע חול



ציור 21 : עקומות הפריצה של פנתרן ופלורנטן במצח חול



ציור 22 : השפעת חומר אורגני מומס מקורות שונים (הומי ופולבי) על עקומת הפריצה של פננטREN במערכת חול



ציור 23 : השפעת ריכוז חומצה הומית על עקומת הפריצה של פננטREN במערכת חול

פולביה לפי שיטת IHSS) ועקבות הפריצה של פננטרן בנסיבות חומצה הומית מקורה מchromica החומית מסחרית (Aldrich) מאוחר ומקדם הקישור של פננטרן עם חומר פולבי מכובל קטן. יחסית זאת היה צפוי שהשפעת חומר זה על עקבות הפריצה תהיה זניחה ולא משמעותית מלבד זירוז קינטי קטן הנitinן לראות בסוף עקבות הפריצה. לזרוז זה לא הייתה השפעה ממשית על מקדם העיכוב (טבלה 4) ועל עקבות הפריצה בכלל.

טבלה 4: נתוני מודל התאמה עבור פרמטרי עקבות הפריצה של פננטרן ופלורנטן בנסיבות חומצה הומית

$K_{G1}/\text{hr}^{1/2}$	$K_{G2}/\text{mL/g}$	θ	β	R_p	מזהם
4.79	2.87	2.34	0.70	12.64	פננטרן פננטרן עם 10 מג"ל חא"ם
4.75	2.68	1.68	0.71	11.92	
7.20	1.99	4.36	0.56	9.08	
0.37	12.00	0.94	0.58	49.70	פלורנטן פלורנטן עם 8 מג"ל חא"ם
1.00	8.10	1.90	0.53	33.90	
2.11	5.11	2.45	0.58	21.77	
					מג"ל חא"ם

عقبות פננטרן עם חומצה הומית, לעומת העקומה הקודמת, פרצה לפני עקבות פננטרן בלבד ושל פננטרן עם חומר פולבי מכובול.

הפריצה של פננטרן עם חומצה הומית (A) הייתה מלאה בזירוז קינטי המתבטא במקדם קצב גדול יותר כפי שנitinן לראות בטבלה 4 (¹-ע 7.2 בנסיבות חומצה הומית לעומת ¹-ע 4.79 ללא חומצה הומית). ההשפעה הזניחה של חומר פולבי מכובול על עקבות הפריצה של פננטרן הינה תוצאה של קישור חלש יחסית. החומר הפולבי בעל משקל מולקולרי קטן (500-1000) והוא הפרקציה הקללה של החומר האורגани המומס מבין החומרים החומניים בכלל מבחינות משקלם המולקולרי והפחوتת הידרופובי. בנוסף לכך, נסויו מקדם הקישור בין חומר פולבי למזהם קטן יותר לעומת מקדם הקישור בין הפננטרן לבין חומצה הומית.

השפעת ריכוז חומרהומי מומס

השפעת חומצה הומית (HA) על תנואה ספיחה (עקומי פריצה) של פננטרן ופלורנטן נבדקה ברכיבים שונים של חומצה הומית (ח'יה).

ציור 23 תאר את עקומי הפריצה של פננטרן עם חומצה הומית (HA) ברכיבים של 10 ו-30 מג"ל. מציר זה ניתן לראות שהשפעת ח'יה ברכיבו של 10 מג"ל על עקבות הפריצה של פננטרן בחול

זוניה וرك ברכיו של 30 מג"ל של חומצה הומית ניתן להבחן בזירוז מימי של עקומת הפריצה של פנטרן על חול. באופן כמותי הזירוז מתבטא בהורדנה בערכו של מקדם העיכוב מ' 12.64 לערך של 9.08 בנסיבות תא"מ ברכיו של 30 מג"ל ועליה במקדם הקצב מערך מ' 4.79 עד לערך של 1.47 7.196.

ציוור 23 מתאר את עקומי הפריצה של פלורנטן עם קרקע חול בנסיבות חומצה הומית ברכוצים 8 ו 20 מג"ל. לעומת עקומי הפריצה של פנטרן עם חול, ניתן להבחן בהשפעה משמעותית של חומצה הומית ברכזו 8 מג"ל בלבד על זירוז פריצת פלורנטן וזירוז גדול מאוד בנסיבות 20 מג"ל. מקדם העיכוב של פלורנטן ירד מ- 49.7 ועד 33.9 עם 8 מג"ל ועד 21.77 עם 20 מג"ל של חייה ומקדם הקצב של השחרור עלה מ' 1.47 10.373 ועד הערך מ' 2.11 20 מג"ל (ראה טבלה 4).

מאחר ופלורנטן הינו מזהם בעל דרגת הידרופוביות גבוהה ($K_{\text{w}} = \log(5.14)$) אז היה צפוי השפעה משמעותית יותר של חומר אורגני טבעי מומס, אפיו, ברכוצים נמוכים ואכן, עקומי הפריצה כפי שראויים בציוור 24 מראות זאת. כפי שניתן לראות מציוור זה ההשפעה על קצב התהליכים (בנוסח לערכים הcompanions של מקדם הקצב שסוכמו בטבלה 4) מתבטאת בהקטנת הזינוק והמריחה של עקומות הפריצה ככל שריכזו חייה גדול. תוצאה זו רואים בוצרה ברורה עם עקומת הפריצה החדרה של פלורנטן בנסיבות 20 מג"ל של חומצה הומית לעומת העומקה המרוכה והמוזנבת של פלורנטן בהעדר חומצה הומית. ע"י השוואת בין עקומי הפריצה של פלורנטן בנסיבות 20 מג"ל של חייה לבין העומקה בנסיבות 8 מג"ל מוכיחה את התלות בין ריכזו חומצה הומית (דרגת הקישור) לבין זירוז קצב התהליכים בכך שעקומי הפריצה עם הריכזו הגבוהה חדה יותר והזינוק בסופה מינימלי.

חיזוי והתאמאה למדל

פנטרן

בنتוח מתמטי הוצע מודל פשוט לפיו ניתן לחזות עקומי פריצה של מזוהמים אורגניים הידרופוביים והשפעת חומרים אורגניים מומסים על תנועת וגורל המזוהמים בקולונה של קרקע. המודל התבזבז על ההנחה שהחומר אורגני טבעי מומס (חומר הומוי) לא מסתפח על הקרקע, הקומפלקס מזוהם-חה"ם (DHS) מתנהג כמו חומר הומוי מומס, ז"א גם הוא לא מסתפח על הקרקע.

pei מודל זה ניתן לחשב את הפרמטרים הדורשים לחיזוי והערכתה של עקומי הפריצה בנסיבות חומר הומוי מומס. את φ מתוק משווה 10.5 את β לפי משווה 6.14 את R מתוק משווה 22 על מנת לחשב את הערך של φ דרוש לחשב מקדם הקצב K_2 לפי הקורלציה המוצעת (משווה 33/34). עבר המקרה של עקומיות הפריצה בנסיבות חומר הומוי מומס וקיים קישור, יש לקחת בחשבון את מקדם הקישור (K_4) הניתוך לחישוב מתוק הקורלציה עם $\log K_2$ או (במקרים ספציפיים) ניתן להשתמש בערך המדווד ע"י נסויי הקישור אשר בזקף צעו במערכת המתנית עבר פנטרן ופלורנטן עם החומרים הhoneymates המומסים.

בציוור 25 רואים את עקומו-קף הפריצה הנסיונית של פנטרן ללא חומצה הומית ועקומיות הפריצה הנסיונית והחזויה של פנטרן בנסיבות 30 מג"ל חומצה הומית. מקדם הקישור של פנטרן עם חומצה הומית נמדד לפי שיטת הדעיכה הפלורוסנטית (QF). מציוור זה ברור כי עקומיות הפריצה החזויה של פנטרן לא התאימה את העומקה הנסיונית וההבדל מתבטא בתנועה מזורצת יותר

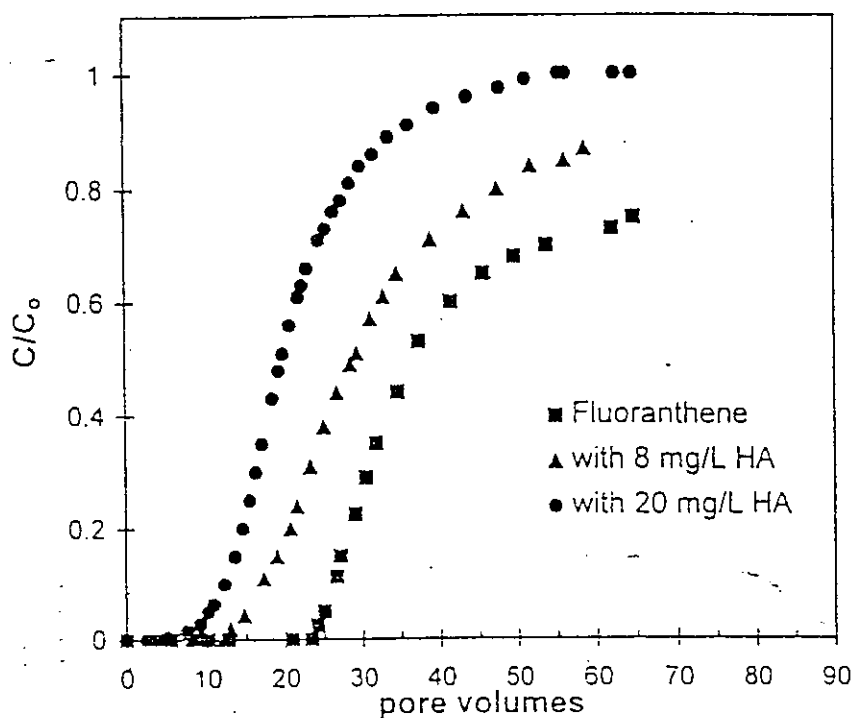
وكذب التحاليل المتصوّب بذوق المذاق النسيوني. كما في، مقدمة العيوب المتصوّب كثُن من النسيوني. لآخرها فتحة شيطنة بحث نسيونيت الجديدة لمزيد الكثيور بين صور أورجاني طبيعي مومس لبين موزهيم اورجانيم اليدروفوبيم لفيفه الوجه شيشية الدعيبة الفلوروستنتية لحيشوب مقدمة الكثيور شل فنترن اينه مذويكت (Laor et al. 1997). شيتها زو متبايس على كومفلوكسيه (كثيور) بين صورهomi בין מוזהيم اورجاني بشلب راسون وفلوكولزيه وشكوع الكومفلوكس موزهيم-homi الكثيور بشلب שני והشيطة سومنه باواتيات CF (complexation-flocculation). شيتها زو الوجهة شيطة يعله وماهيره لحيشوب ومذيد مقدمة الكثيور بين موزهيم اورجانيم لبين صوريم hominis وفالبيم (Laor and Rebhun 1997). مقدمة الكثيور المذود لفي شيطة زو عبر فنترن عم صوره homi كثُن موزه المذود شلפי شيطة الدعيبة الفلوروستنتية وعلى كل فرمطري عكومت الضربيه المذوييم على سماك عرق يهو شونيم (طבלה 5). הראו שערק מקדם הקಥיור המתקבל לפי شيطة הדעيبة الفلوروستنتית (QF) בכל המקרים היה גדול מערק המקדם לפי شيוטות המذידת האחרות, כמו דיאליזה reverse-phase chromatography או شيطة הגדלת המטיסות (solubility enhancement). הם הסבירו תופעה זו ע"י כך שהמיצן מומס מגזיל את ערכו של מקדם הקಥיור בונוכות חומרים hominis מומסים, דבר המתבטא בתוספת מזומה של הדעيبة الفلوروסטנטית. ההבדל בין הערכ שהתקבל בין שתי השיטות FQ והגדלת המטיסות (solubility enhancement) היה בתחום פקטורי של 2-3 (Danielsen et al. 1995). לעומתם היחס בין ערכ שמל מקדם הקಥיור המذוד לפי شيطة FQ לבין זה שנמדד לפי شيطة CC היה 2.2 ($K_d(FQ)=3.7 \times 10^4$, $K_d(CC)=1.66 \times 10^4$)

ציור 26 מתראר את עקומת הפריצה החזואה על סמך מקדם הקಥיור המذוד לפי شيطة FQ לעומת עקומת החזואה על סמך מקדם הקಥיור המذוד לפי شيطة CF. התאמת בין עקומת הפריצה הנסיונית לבין החזואה לפי שיטת CF מוכיחה שמל מקדם הקಥיור המذוד לפי شيطة הדעيبة الفلوروסטנטית (FQ) הינו מזומה וגודול מהערך האמתי שלו (ראה פרק ...). תיקון זה מראה כי מודל החזוי נונע ווצאות טובות בהשוואה לתוצאה הנסיונית.

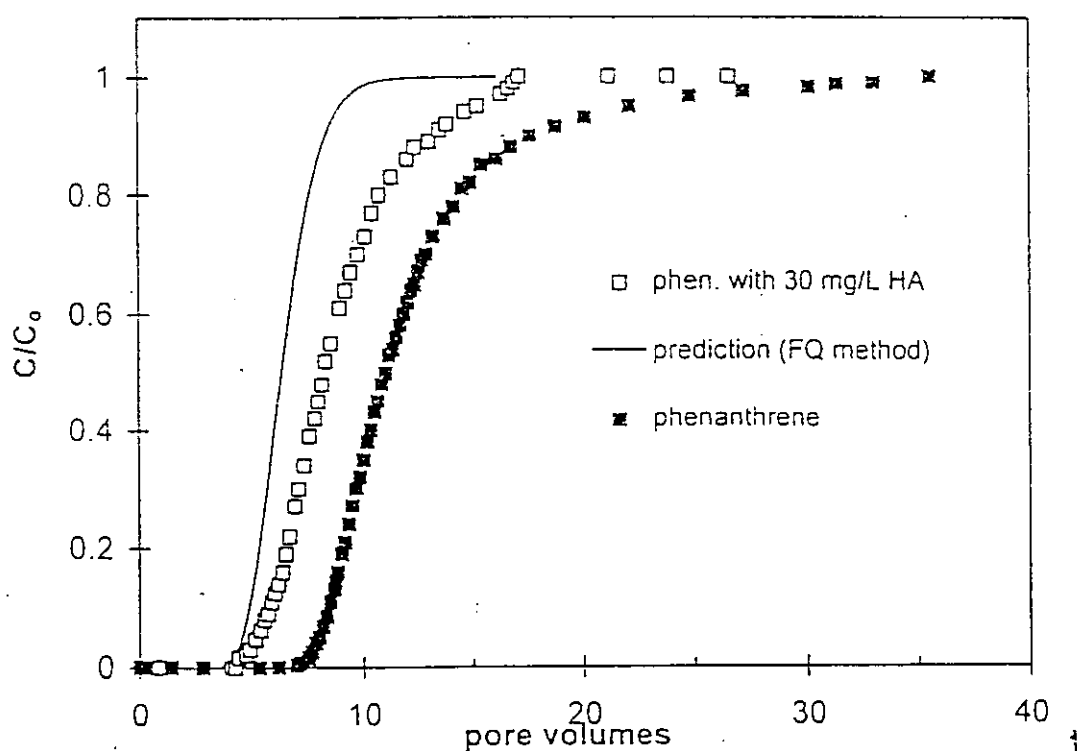
פלורנטן

ציור 27 מסכם את עקומות הפריצה של פלורנטן. בציור זה מתוארת השוואה בין עקומות הפריצה הנסיונית של פלורנטן עם חא"מ בריכוזים 8 ו 20 מג'ל לבין עקומות הפריצה החזואה לפי המודל המוצע כאשר מקדם הקಥיור נמדד לפי שתי השיטות FQ ו CF. כפי שניתן לראות מציר זה ההתאמאה בין עקומות הפריצה הנסיונית וה חזיות הינה טובה מאד וההבדל בין התחזיות על סמך מذידת מקדם הקಥיור לפי שיטת FQ לבין התחזיות על סמך שיטת CF אינה גודלה בהשוואה להבדל בניסוי הקודם עם פנתרן. היחס בין מקדם הקಥיור לפי שיטת FQ לבין המקדם לפי שיטת CF היה 1.22. הבדל זה אינו ממשוני עבור עקומות הפריצה החזואה של פלורנטן דורך חול. (1997 משא Laor and Rebhun) קבלו הבדלים באוטו סדר גודל בין הערכיהם המודדים לפי שתי השיטות עבור פלורנטן ופיירן.

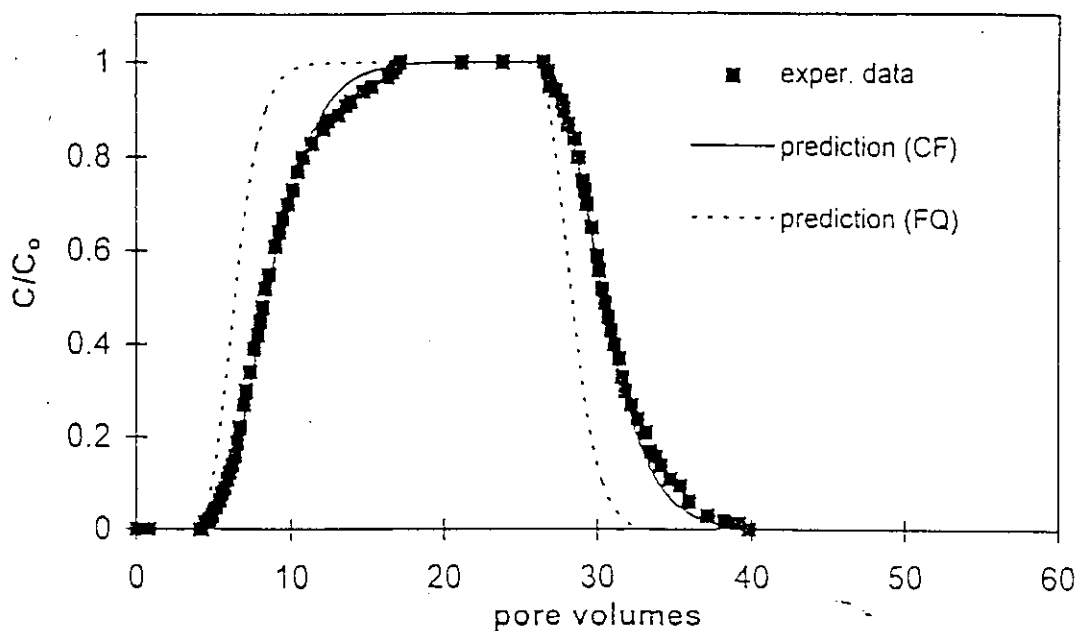
ממצא זה מוכיחה נכונות גישת החזוי הבלתי תלוי על עקומות הפריצה, גם עבור המקרה של נוכחות חומרים אורגניים טבעיים מומסים כמו חומרים היוםיים (חומרה homi וחותמזה פולביה). כפי שהסביר קודם, האפקט הקינטי של חומרים אורגניים מומסים הינו ממשוני וברור יותר במקרה של תנואה של פלורנטן (הידרוופובי חזוק) לעומת השפעה קלה ומוגנה על תהליכי ספירה ושחרור של פנתרן (הידרוופובי ביןוני).



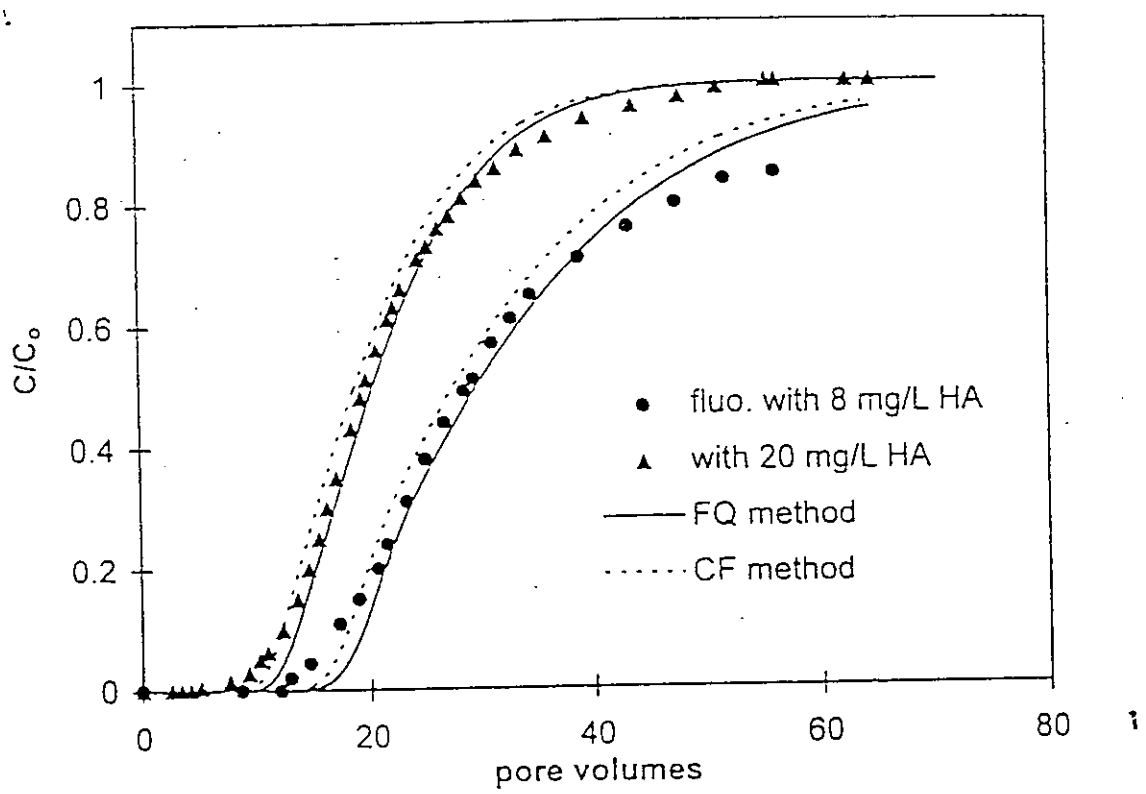
ציור 24 : השפעת ריכוז חומצה הומית על עקומת הפרίיצה של פלוראנטן במערכת חול



ציור 25 : השוואה בין עקומת הפרίיצה של פננטרן במערכת חול לבין כוחות חה"מ
עם עקומת הפרίיצה החזויה לפי שיטת FQ



ציור 26 : השוואה בין עקומת הפרίזה של פננטרן במערכת חול בנוכחות ח"ה
עם עקומות הפרίזה החזויות לפי שיטת FQ ושיטת CF



ציור 27 : השוואה בין עקומת הפרίזה של פלורונטן במערכת חול מטופל בנוכחות ח"ה
בריכוזים של 8 ו 20 מג'ל עם עקומות הפרίזה החזויות לפי שיטת FQ ושיטת CF

התוצאות התאימו بصورة טובה, גם למודל החזוי על סמך הקורלציות הבלתי תלויות כאשר מקדם הקישור K_w חושב ע"י הקורלציה עם מקדם K_{ow} .

טבלה 5: מקדם העיכוב עבור פנטרן ופלורנטן הנסיוני והמחושב בנסיבות ובהעדר חומצה הומית לפי שיטות שונות.

מזהם	נסיוני	מחושב (מןתוגן)	קורלטיבי (מןתוגן)	מזהם	מזהם (מןתוגן)	סוד
	R	R	R	R	RQ	CC
פנטרן	12.64					
פנטרן עם מגיל ח"ם	11.92	10				
פנטרן עם מגיל ח"ה	9.08	30				
פלורנטן	49.70					
פלורנטן עם מגיל ח"ה	33.90	8				
פלורנטן עם מגיל ח"ה	21.77	20				

סיכום

בעובדה זו נקבעו מספר מטרות עיקריות והן: הערכת וחוזי קבועים ספיקה ושחרור של מזוהמים ארגניים הידרופוביים בנסיבות חומריים ארגניים מומסים הנמצאים בקולחין. הבנת מבנה תהליכי השחרור בהעדר ובנסיבות חומריים ארגניים מומסים ופיתוח ומדיפקציה של מודל מתמטי שיתן הבנה, בטוי וחוזי של מזוהמים ארגניים הידרופוביים בקרקע בנסיבות חומריים ארגניים מומסים (סנטיטים וטבאייט).

נעsha שימוש במודל תנועה-עיכוב המסתמך על משוואת איזוקציה-דיספרסיה-עיכוב תוך כדי התחשבות במנגנון קבוע קבוע לפי שני אתרי או שני שלבי ספיקה.

הוותאים המודל למצב של תנועה-עיכוב בנסיבות חומר ארגני טבעי מומס ונעשה שימוש בקורסליות K_w - $\log K_p$, $\log K_p$ - $\log K_{ow}$, $\log K_{ow}$ - $\log K_p$. חישוב זה של הפרמטרים מקורסליות המtabססות על נתונים היסוד (מקדם אוקטנול-מים ואו נסוי מנתיל) אפשר חזו בלאי תלוי תנועת מזוהמים ארגניים הידרופוביים בנסיבות ובהעדר חומריים ארגניים טבאיים מומסים דוגמת חומצות הומיות ופוליביות. התקבלה התאמה טובה בין החזו הבלתי תלוי לבין התוצאות הנסיוניות של עבודה זו ושל עבודות מהספרות המקצועית. נמצא פרק זה, הנסיוניים והמחושבים לפי חזו בלאי תלוי, הראו שליטת מנגנון קבוע התהליכים לפי מודל שני אתרי או שני שלבי ספיקה.

המסקנה מהעבודה היא שבנוסף לחישוב והערכתה של מקדם העיכוב של מזוהם בקרקע דרושה התחשבות במנגנונים קבועים קבועים במטרה להעריך את מקדם הקצב לשם חזו מושלים של תנועת

מזהם כלשהו במצע נקבובי ותנאי זרימה מוגדרים. חזוי בלתי תלוי וממצאים נסיוניים הצביעו על כך, שככל שהמדובר הידרופובי יותר, מוקדם העיכוב גדול יותר, קצב התהילcis קטן יותר ועקומת הפריצה תואופיין ע"י תופעת זינוב ומריחה גדולים. חשיבות תופעה זו גדולה יותר כאשר מדובר במזהמים הידרופוביים מודגמי, אז, מריחה וזינוב יהיו משמעותיים יותר בהערכת כמהם המים הדרושה עד פריצה ו/או שטיפה מושלמת. ז"א פריצה מושלמת עם תופעת זינוב תאrik זמן יותר מאשר פריצה ללא זינוב (מצב שווי-משקל מקומי) הדבר מתבטא בכמות מים גדולה יותר עד השלמת הפריצה או עד שטיפת הקrkע מהזיהום. מבחינה הנדרשת ויישומית לתופעה זו ישנה חשיבות עליונה לחזווי והערכת תנעوت מזהמים בחשקיה בקולחין, ובבחינת תכונן ומעקב מבוקרים לאיכות מי תהום התקדמות מזהמים קרקע ותכונן ופיתוח שיטות לנקיי אטרים מזהמים.

חקירת ההשפעה של חומרים הומיים מומסים (חומר החומית ופולביה) על קצב ותנעوت מזהמים ארגניים בקרקע הייתה מטרה חשובה. בוצעה בחינה של החזווי בלתי תלוי של עקומות הפריצה של מזהמים ארגניים הידרופוביים בנוכחות חומר החומית וחומר פולביה.

התקבלת התאמה טובה בין התוצאות הניסיוניות לבין החזווי הבלתי תלוי של עקומות הפריצה של פננטון ושל פלורנטן בנוכחות חומר החומית מטהריה על קrkע חול.

توزאה נספת הייתה ההשפעה של חומר החומית על הקטנת מוקדם העיכוב וזרוע תנעוה וקצב תהילci ספיחה ודסורפציה של פננטון ושל פלורנטן דרך החול. ככל שהמדובר הידרופובי חזק יותר, ההשפעה של חומר החומית הייתה גדולה יותר. דבר זה התבטא בהורדת מוקדם העיכוב של פלורנטן דרך דחול ביוטר מ- 56% ע"י שימוש בחומר החומית ברכיו של 20 מג"ל כאשר הירידה של מוקדם העיכוב עברו פננטון (פחות הידרופובי) באותה מערכת עם חומר החומית ברכיו של 30 מג"ל לא עברה את ה- 28%. תוצאה נספת הייתה העליה בקצב תהילci ספיחה וסחרור של פלורנטן ופננטון ככל שריכוזו חומר החומית היה גדול יותר. תוצאה זו אופיינה בהקטנה משמעותית בתופעת הזינוב והמריחה שאפיינה עקומת הפריצה של פלורנטן על חול, תופעה אשר נחשבת לتوزאה של שליטת קצב התהילcis, ז"א ככל שהמדובר הארגני הידרופובי יותר, מוקדם העיכוב יהיה גדול יותר והפריצה מאוחרת, מרוחה יותר ועם זינוב. המשמעות היישומית של השימוש בחומרים הומיים, בנוסף להורדת מוקדם העיכוב, הינה בזרוע קצב התהילcis, הקטנת הזינוב והמריחה והורדת כמהם המים הדרושה עד הפריצה והדרושא למטרות נקיי אטרים מזהמים.

ניתן לסכם שמצאי עבודה זו מספקים כל הערכה וחזווי בלתי תלוי של תנעוה של מזהמים ארגניים הידרופוביים במצע נקבובי בהתבסס על נתוני יסוד, נסויי ספיחה מנתיים ונתונים הידרודינמיים של המצע הנקבובי. החזווי הבלתי תלוי התאים בכל שלבי העבודה לתוצאות הניסיוניות שהתקבלו בעבודה הנוכחית ותוצאות ניסיוניות מהספרות המקצועית. מודיפקציה של מודל תנעוה עיכוב בנוכחות חומרים ארגניים טבעיים מומסים אפשרה ביצוע חזוי בלתי תלוי של פריצה ושטיפה של מזהמים ארגניים מאתרים מזהמים ע"י חומרים ארגניים טבעיים מומסים בשיטה לזרוע שטיפת קrkע מזוהמת הודות לקישור בין חומרים ארגניים טבעיים מומסים לבין המזהמים הארגניים.

רשימת ספרות

- Abdul, A.S., T.L. Gibson and D.N. Rai (1990) Use of humic acid solution to remove organic contaminants from hydrogeologic systems, Environ. Sci. Technol. 24, 328-333.
- Brusseau, M.L., R.E. Jessup and P.S.C. Rao (1990) Sorption kinetics of organic chemicals: Evaluation of gas-purge and miscible-displacement techniques, Environ. Sci. Technol. 24, 727-735.
- Brusseau, M.L. and P.S.C. Rao (1989) Sorption nonideality during organic contaminant transport in porous media, CRC Crit. Rev. Environ. Control, 19, 33-99.
- Brusseau, M.L. (1993) The influence of solute size, pore water velocity, and intraparticle porosity on solute dispersion and transport in soil, Water Resour. Res. 29, 1071-1080.
- Chiou, C.T., P.E. Porter and D.W. Schmedding (1983) Partition equilibria of nonionic organic compounds between soil organic matter and water. Environ. Sci. Technol. 17, 227-231.
- Chiou, C.T., R.L. Malcolm, T.I. Brinton and D.E. Kile (1986) Water solubility enhancement of some organic pollutants and pesticides by dissolved humic and fulvic acids, Environ. Sci. Technol. 20, 502-508.
- Chiou C.T., Kile D.E., Brinton T.I., Malcolm R.L., Leenheer J.A., and MacCarthy P. (1987) A comparison of water solubility enhancements of organic solutes by aquatic humic materials sand commercial humic acids, Environ. Sci. and Technol., 21, 1231-1234.
- Danielsen, K.M., Y.P. Chin, J.S. Buterbaugh, T.L. Gustafson and S.J. Traina (1995) Solubility enhancement and fluorescence quenching of pyrene by humic substances: The effect of dissolved oxygen on quenching processes, Environ Sci Technol, 29, 2162-2165.
- Johnson, W.P. and G.L. Amy (1995) Facilitated transport and enhanced desorption of polycyclic aromatic hydrocarbons by natural organic matter in aquifer sediments, Environ. Sci. Technol. 29, 807-817.
- Johnson, W.P., G.L. Amy and S.C. Chapra (1995) Modeling of NOM-facilitated PAH transport through low- f(oc) sediment, J. Environ. Eng-ASCE. 121, 438-446.
- Karickhoff W.S., and Morris K.R. (1985) Sorption dynamic of hydrophobic pollutants in sediments, Environ. Tox. Chem., 4, 469-479.
- Laor, Y. and M. Rebhun (1997) Complexation-flocculation: A new method to determine binding coefficients of organic contaminants to dissolved humic substances, Environ Sci Technol, 31, 3558-3564.

Magee, B.R., L.W. Lion and A.T. Lemley (1991) Transport of dissolved organic macromolecules and their effect on the transport of phenanthrene in porous media, Environ. Sci. Technol. 25, 323-331.

Means, J.C., S.G. Wood, J.J. Hassett and W.L. Banwart (1980) Sorption of polynuclear aromatic hydrocarbons by sediments and soils, Environ. Sci. Technol. 14, 1524-1528.

Nkedi-Kizza, P., M.L. Brusseau, P.S.C. Rao and A.G. Hornsby (1989) Nonequilibrium sorption during displacement of hydrophobic organic chemicals and ^{45}Ca through soil columns with aqueous and mixed solvents. Environ. Sci. Technol. 23(7), 814-820.

Rav-Acha, C. and M. Rebhun (1992) Binding of organic solutes to dissolved humic substances and its effect on adsorption and transport in the aquatic environment, Weed Res. 26, 1645-1654.

Rebhun, M., F. Desmedt and J. Rwetabula (1996) Dissolved humic substances for remediation of sites contaminated by organic pollutants. Binding-desorption model predictions, Water Res, 30, 2027-2038.

Selim, H.M., J.M. Davidson and P.S.C. Rao (1977) Transport of reactive solutes through multilayered soils, Soil Sci. Soc. Am. J. 41, 3-10.

Valocchi, A.J. (1985) Validity of the local equilibrium assumption for modeling sorbing solute transport through homogeneous soils, Water Resour. Res. 21, 808-820.

Van Genuchten M.T. (1981) Research reports NO. 119

Wershaw R.L. (1986) J. Contam. Hydrol., 1, 29-45.

Wershaw R.L. (1993) Model for humus. Environ. Sci. and Technol., 27,5.

Wershaw R.L., Burcar P.J., and Goldberg M.C. (1969) Interaction of pesticides with natural organic materials, Envriion. Sci. and Technol., 3,271-273.

(1) מטרות המחקר לתקופת הדיו"ח תוך התייחסות לתוכנית העבודה

מטרת העבודה העיקרית הייתה לבחון השפעת חומר אורגני מומס אשר נמצא בקולחין על תנועת מזוהמים ארגניים בקרקע. נוכחות ח"א מומס עשוי להגבר את מסירות המזוהמים ולגרום לתנועה מזורמת שלהם עבר מהתהום.

(2) עיקרי הניסויים והنتائج שהוגשו בתקופה אליה מתיחס הדיו"ח

בשנה האחרונה של העבודה פותח מודל מתמטי המתאר השפעת ח"א מומס על תנועת מזוהמים ארגניים בקרקע. המודל נבחן עם תוצאות מניסויי עמודות שביהם נקבעו הפרמטרים השונים בצורה עצמאית (ללא התאמת מתמטית). נמצא שקדם הקישור בין המזוהם לבין הח"א מומס קבוע וגישה המאפשרת לתנועה מזורמת. לחומצה הומית יש כושר קשירה גבוהה יותר מאשר לחומצה פולビת. לכן חומצות פולביות ישפיעו על תנועת מזוהמים באופן פחות מאשר אותו ריבקו של חומצה הומית. מدد מצוין לכושר הקישורה של מזוהמים ארגניים הוא -^{sow} A (קדם חלוקה בין מים ואוקטנוול). ככל שה-^{sow} A גבוהה יותר אזי החומר עבר קשירה חזקה יותר ע"י ח"א מומס. המודל הצליח לחזות עקרונות פריצה של מספר מזוהים מקרענות קלות בהצלחה רבה.

(3) המשקנות המדעיות וההשלכות לגבי יישום המחקר והמשכו

ריבקו הח"א המומס בקולחין תלוי במקומו הטיהור ממנו הוא יוצא. במפעלי טיהור כמו השפדיין שרכיבו הח"א מומס פחות מ-30-50 מ"ג/ל לא צפויים בעיות בתנועה מזורמת של חומרי הדבשה או מזוהמים אחרים כאשר משתמשים בקולחין להשקייה. בשפכים ממפעלים אחרים (כגון: נתניה, עכו וכו') שבהם ריבקו הח"א המומס בקולחין גבוה יותר ויכול להגיע ל-100-50 מ"ג/ל או יותר עלול להיות בעיה בהשקייה ממושכת כתוצאה מהתרכזות הח"א בקרקע ע"י ריבקו תמיסת הקרקע (כתוצאה מאבפטורנספירציה). במקרים אלו ריבקו הח"א המומס עשוי להיות פי כמה יותר גבוה ולכן כושר הקישור שלהם עולה בהתאם. נקרה זאת נבדקת היום בניסוי חממות.

(4) הביעות שנדרשו לפתרון ואו השינויים במהלך העבודה, התייחסות המשך המחקר לגיבתו

כפי שצוין לעיל, תוצאות המודל מראים לריבקו החומר הארגני המומס חשיבות רבה בתופעת התנועה מזורמת של מזוהמים ארגניים. יש לבחון השפעת התרכזות תמיסת הקרקע כתוצאה מאבפטורנספירציה על תנועת מזוהמים אלו.

(5) האם הוול כבר בהפצת הידע שנוצר בתקופת הדיו"ח

תוצאות העבודה הוגשו ככמה כנסים וסדנאות הן בארץ והן בחו"ל. כמו כן הם היו חלק חשוב בעבודת הדוקטור שלו. סבאה. מספר מאמרים הגיעו נמצאים בשלבי הכנה.